

## Ο.Α.Σ.Π.

ΜΕΛΕΤΗ ΚΤΙΡΙΑΚΩΝ ΕΡΓΩΝ  
ΜΕ ΕΦΑΡΜΟΓΗ ΤΩΝ ΔΙΑΤΑΞΕΩΝ  
ΤΟΥ Ν.Ε.Α.Κ.

## ΠΟΛΥΟΡΟΦΟ ΜΕΤΑΛΛΙΚΟ ΚΤΙΡΙΟ ΓΡΑΦΕΙΩΝ ΜΕ ΣΥΜΜΙΚΤΑ ΔΑΠΕΔΑ

ΤΕΧΝΙΚΗ ΕΚΘΕΣΗ

ΣΤΑΤΙΚΟΙ ΥΠΟΛΟΓΙΣΜΟΙ

ΣΧΕΔΙΑ

### ΤΕΥΧΟΣ Ι

ΟΜΑΔΑ ΜΕΛΕΤΗΣ

ΑΘΗΝΑ, ΙΟΥΝΙΟΣ 1994

Α.Σ.Καραμάνος	Πολιτικός Μηχανικός
Α.Η.Καρδαρά	Δρ Πολιτικός Μηχανικός
Ε.Η.Καρδαράς	Πολιτικός Μηχανικός
Θ.Γ.Τσιμώνος	Πολιτικός Μηχανικός

## ΤΕΧΝΙΚΗ ΕΚΘΕΣΗ

### 1. ΠΕΡΙΓΡΑΦΗ ΑΝΤΙΚΕΙΜΕΝΟΥ

Αντικείμενο της παρούσας μελέτης αποτελεί ο πλήρης στατικός καὶ αντισεισμικός υπολογισμός ενός πολυορόφου κτιρίου γραφείων με μεταλλικό φέροντα-σκελετό, με έμφαση στην εφαρμογή των διατάξεων του Νέου Ελληνικού Αντισεισμικού Κανονισμού (NEAK).

Καταβλήθηκε προσπάθεια ώστε ο αρχιτεκτονικός σχεδιασμός του κτιρίου να ικανοποιεί τις προδιαγραφές που ισχύουν στη χώρα μας όταν σύγχρονα κτίρια γραφείων, ουτώς ώστε το κτίριο να μπορεί να θεωρηθεί σε ικανοποιητικό βαθμό αντιπροσωπευτικό της κατηγορίας του. Κρίθηκε οτι, κατ' αυτόν τον τρόπο, θα υπάρχει δυνατότητα εξαγωγής κάποιων γενικότερων συμπερασμάτων ότια την εφαρμοσιμότητα των διατάξεων του NEAK αναφορικά με πολυόροφα κτίρια γραφείων καθώς καὶ ότια κτίρια συναφών χρήσεων.

Εποικιδώθηκε πανταχόθεν ελεύθερο, αρχιτεκτονικών διαστάσεων σε κάτοψη 37m x 19m περίπου, 4 ορόφων, με ύψος οροφής 5m καὶ ύψος τυπικού ορόφου 4m. Το κτίριο είναι συμμετρικό καὶ κανονικό τόσο σε κάτοψη όσο καὶ σε τομή.

Η διάταξη των ορόφων είναι ανοικτού τύπου με ελαφρά διαχωριστικά, ενώ το κλιμακοστάσιο, οι ανελκυστήρες, τα φρεάτια αγωγών εγκαταστάσεων καὶ οι αποθηκευτικοί χώροι εντάσσονται σε πυρήνα στο κέντρο εν κατόψει του κτιρίου. Το περίβλημα του κτιρίου (δψεις) προβλέπεται να είναι ελαφρού

τύπου με υαλοστάσιο καθόλο το ύψος, που φέρεται επι μεταλλικού σκελετού εκ κοιλοδοκών.

Από άποψη στατικού συστήματος δαπέδου, τα δάπεδα συνίστανται από σύμμικτες πλάκες στις οποίες διαστρώνεται σκυρόδεμα μικρού πάχους επι πτυχωτών χαλυβδόφυλλων. Τα τελευταία φέρονται επι μεταλλικών δοκών. Προ της σκλήρυνσης του σκυροδέματος, το ίδιο βάρος των χαλυβδόφυλλων καθώς και του νωπού σκυροδέματος, αναλαμβάνεται από τα πτυχωτά χαλυβδόφυλλα, ενώ μετά την σκλήρυνση του σκυροδέματος τα λοιπά πρόσθετα μόνιμα καθώς και τα κινητά φορτία αναλαμβάνονται από τη σύμμικτη διατομή. Η συνεργασία των δυο υλικών εξασφαλίζεται χάρη στη συνάψεια που αναπτύσσεται μεταξύ σκυροδέματος και του ειδικής διαμόρφωσης πτυχωτού χαλυβδόφυλλου.

Με το σύστημα αυτό επιτυχάνεται μείωση του νεκρού φορτίου των δαπέδων και συνακόλουθα ελάφρυνση του μεταλλικού σκελετού και της θεμελίωσης. Επίσης επιτυχάνεται μείωση του χρόνου και κόστους κατασκευής. Άλλω της χρήσης του πτυχωτού χαλυβδόφυλλου ως ξυλοτύπου για την έγχυση του σκυροδέματος καθώς και ως δαπέδου εργασίας.

Οπως προαναφέρθηκε, τα πτυχωτά χαλυβδόφυλλα φέρονται επι μεταλλικών δοκών (πού διατάσσονται σε απόσταση 2m μεταξύ τους) στο άνω πέλμα των οποίων συγκολλούνται στο εργοτάξιο ειδικοί διατμητικοί σύνδεσμοι μορφής κοχλία. Στη φάση που το σκυρόδεμα ειναι ακόμα νωπό, τα ίδια βάρη νωπού σκυροδέματος, πτυχωτών χαλυβδόφυλλων και μεταλλικών δοκών, αναλαμβάνονται από τις μεταλλικές δοκούς, ενώ μετά την σκλήρυνση του σκυροδέματος τα πρόσθετα μόνιμα καθώς και τα κινητά φορτία αναλαμβάνονται από τη σύμμικτη διατομή που αποτελείται από

τη σύμμικτη πλάκα κατε τη μεταλλική δοκό. Η συνεργασία αυτή εξασφαλίζεται χάρη στη διατμητική σύνδεση που επιτυχάνεται με τους ειδικούς συνδέσμους που προναφέρθηκαν.

Η σύμμικτη λειτουργία λαμβάνεται υπολογιστικά υπόψη σε διεσ τις δοκούς (είτε κύριες εδραζόμενες επι στύλων είτε δευτερεύουσες εδραζόμενες επι κυρίων δοκών) με εξαίρεση τις δοκούς που αποτελούν ζυγώματα πλατείων η κατακορύφων συνδέσμων ακαμψίας.

Με τη παραπάνω σύμμικτη λειτουργία επιτυχάνονται τα εξής αποτελέσματα:

- 1) Μείωση των διατομών των μεταλλικών δοκών κατε
- 2) Καλύτερη διαφραγματική λειτουργία σε σχέση με την περίπτωση απλής έδρασης των πλακών επι των μεταλλικών δοκών χωρίς διατμητική σύνδεση. Οπως είναι δε γνωστό η διαφραγματική λειτουργία των δαπέδων στα πολυδροφα κτίρια είναι καθοριστική ότια τη μεταβλίβαση των σεισμικών φορτίων από τα κέντρα των μαζών στα κατακόρυφα στοιχεία ακαμψίας.

Οι μεταλλικές δοκοί τέλος φέρονται επι μεταλλικών στύλων οι οποίοι είναι σε κανονικό κάνναβο 6m x 7.2m.

Από αποψη κατακορύφου συστήματος ακαμψίας, ότια την ανάληψη ορίζοντων δυνάμεων ανέμου κατ σεισμού, εξετάζονται οι εξής δυο εναλλακτικές λύσεις:

**Λύση 1** Παραλληλα πρός τη μεγάλη διεύθυνση του κτιρίου διατάσσονται δύο πλαίσια, στις δυο απέναντι πλευρές της περιμέτρου, αποτελούμενα από πέντε φατνώματα των 7.2m. Παραλληλα πρός τη μικρή διεύθυνση του κτιρίου διατάσσονται επίσης στη περιμέτρο (στις δυο απέναντι πλευρές) δυο διαγώνιοι σύνδεσμοι ακαμψίας (χιαστί μορφής) ενδιά φατνώματος 6.0m (μεσαίο φάτνωμα).

**Λύση 2** Παράλληλα προς τη μεγάλη διεύθυνση του κτιρίου διατάσσονται στη περιμέτρο (στις δύο απέναντι πλευρές), δύο έκκεντροι δικτυωτοί σύνδεσμοι ακαμψίας ενός φατνώματος 7.2m (μεσαίο φάτνωμα). Παράλληλα προς τη μικρή διεύθυνση διατάσσονται ομοίως, στις δύο απέναντι πλευρές της περιμέτρου, δύο έκκεντροι δικτυωτοί σύνδεσμοι ενός φατνώματος 6.0m ομοίως στο μεσαίο φάτνωμα.

Κατ στις δύο εναλλακτικές λύσεις, με εξαίρεση τις δοκούς που αποτελούν ζυγώματα πλαισίων, οι μεταλλικές δοκοί συνδέονται με τα υποστυλώματα με σύνδεση διάτμησης κατ οχι ροπής.

Σημειώνεται δτε στις δοκούς που αποτελούν ζύγωμα πλαισίων, διαγωνίων συνδέσμων ακαμψίας κατ έκκεντρων συνδέσμων ακαμψίας, δεν λαμβάνεται υπόψη υπολογιστικά η σύμμικτη λειτουργία. Τούτο διότι στις δοκούς αυτές είτε προκύπτουν αρνητικές ροπές σε μεγάλο τμήμα του μήκους των (ζυγώματα πλαισίων) είτε προκύπτουν μεγάλες θλιπτικές δυνάμεις από την σειμική δράση (ζυγώματα συνδέσμων ακαμψίας). Κατ στις δύο περιπτώσεις δεν προκύπτει παραασήμαντη αύξηση της φέρουσας ικανότητας των δοκών αυτών αν ληφθεί υπόψη υπολογιστικά η σύμμικτη λειτουργία. Εν τούτοις διατάσσεται κατ στις δοκούς αυτές ένας ελάχιστος αριθμός διατμητικών συνδέσμων κυρίως για την μεταφορά σε αυτές των σειμικών φορτίων από τα διαφράγματα. Με τους συνδέσμους αυτούς, εκτός της καλύτερης σύνδεσης διαφράγμάτων κατ κατακορύφου συστήματος ακαμψίας, επιτυγχάνεται κατ κάποιος βαθμός σύμμικτης λειτουργίας. Τέλος πρέπει να σημειωθεί ότι η παραπάνω αντιμετώπιση των δοκών αυτών αποτελεί κοινή πρακτική στο σχεδιασμό πολυορθόφων κτιρίων στις Η.Π.Α.

Με τις δυο εναλλακτικές λύσεις κατακορύφουν συστήματος ακαμψίας που αναφέρθηκαν παραπάνω, καλύπτονται όλα τα συστήματα ακαμψίας για ανάληψη οριζόντιων φορτίων σε ισιδού και ανέμου που πριμοδοτούνται από τον NEAK με υψηλή τιμή συντελεστή σεισμικής συμπεριφοράς η, δηλαδή πλαϊσια, δικτυωτού σύνδεσμοι χωρις εκκεντρότητα (διαγώνιοι), και δικτυωτού σύνδεσμοι με εκκεντρότητα. Δεν εξετάσθηκαν δικτυωτού σύνδεσμοι χωρις εκκεντρότητα τύπου "V" ή "Λ", διότι για αυτούς ο NEAK προδιαγράφει πολύ μικρή τιμή συντελεστή σεισμικής συμπεριφοράς η που οδηγεί σε μεγάλη σεισμική επιβάρυνση λδιαίτερα σε πολυσύροφα κτίρια. Σημειώνεται ότι η μικρή τιμή του η που προβλέπει ο NEAK στούς συνδέσμους αυτούς δικαίολογείται από το γεγονός της μικρής δυνατότητας απορρόφησης σεισμικής ενέργειας στην πλαστική περιοχή που χαρακτηρίζει αυτούς τους συνδέσμους.

Πρέπει να σημειωθεί επίσης ότι η μεγάλη σεισμική επιβάρυνση των συνδέσμων αυτών οδηγεί σε υπερδιαστασιολόγηση των στοιχείων των συνδέσμων (μεγάλες διατομές στύλων, ζυγωμάτων και διαγωνίων στοιχείων). Ετσι είναι πιθανό σε ένα πολυσύροφο κτίριο, οι μεγάλες απαιτούμενες διατομές να μην υπάρχουν διαθέσιμες στο εμπόριο, και να πρέπει να κατασκευαστούν σύνθετες διασυγκολλήσεως (πράγμα που ανέβαλε πολύ τη δαπάνη κατεργασίας), πεινατικά πιθανόν να απαιτηθεί διάταξη μεγαλύτερου αριθμού συνδέσμων σε κάθε διεύθυνση με διαφορετικές μετατοπίσεις που αυτό συνεπάγεται. Επίσης μια τέτοια επιλογή οδηγεί και σε σημαντικότατη επιβάρυνση της θεμελίωσης.

Τέλος αναφέρεται ότι λόγω του μικρού σχετικά αριθμού

ορδιφων του κτιρίου δεν κρίθηκε σκόπιμο να εξετασθούν πιο περιπλοκα συστήματα ακαμψίας δημοσίων συνδυασμών πλαισίων και διαγωνίων συνδέσμων ή πλαισίων και εκκέντρων δικτυωτών συνδέσμων.

Εποι, με την εξέταση ολων αυτών των εναλλακτικών συστημάτων, θεωρούμε οτι επιτυχάνεται καλύτερα ο στόχος της εργασίας αυτής, που είναι τόσο η εφαρμογή των διατάξεων του ΝΕΑΚ σε πολυόροφα μεταλλικά κτίρια οσο και η εξαγωγή κάποιων γενικότερων συμπερασμάτων για τη σημασία των διαφόρων εναλλακτικών συστημάτων ακαμψίας και γενικότερα για την εφαρμοσιμότητα των διατάξεων του ΝΕΑΚ σε κτίρια αυτής της κατηγορίας.

Στη θέση αυτή θεωρούμε χρήσιμο να αναφερθούμε στους κανονισμούς φορτίσεων και διαστασιολόγησης που χρησιμοποιήθηκαν. Με την εξαίρεση του ΝΕΑΚ για τον αντισεισμικό σχεδιασμό, και του νέου κανονισμού οπλισμένου σκυροδέματος για την διαστασιολόγηση των πεδιλοδοκών θεμελίωσης, χρησιμοποιήθηκαν οι Αγγλικοί κανονισμοί και συγκεκριμένα για την φόρτιση του ανέμου και για την διαστασιολόγηση του μεταλλικού σκελετού. Ειδικά δημιού το κινητό φορτίο ελήφθη σύμφωνα με τον Ελληνικό κανονισμό φορτίσεως δομικών έργων (ΕΚΦΔΕ) του 1945.

Η επιλογή των Αγγλικών κανονισμών για την φόρτιση ανέμου και για τη διαστασιολόγηση του μεταλλικού σκελετού έγινε για τους εξής λόγους:

1) Οι ταχύων Ελληνικός κανονισμός φορτίσεως δομικών έργων σε διε αφορά τον άνεμο θεωρείται με τα σημερινά δεδομένα απαξιωμένος επιστημονικά καθόσον δεν ανταποκρίνεται στη σημερινή στάθμη των γνώσεων. Επίσης δεν υπάρχει Ελληνικός

κανονισμός ότι τη διαστασιολόγηση του μεταλλικού σκελετού.

2) Οι τελευταίοι Αγγλικοί κανονισμοί διαστασιολόγησης μεταλλικών κατασκευών εναρμονίζονται με συνέπεια με τον NEAK αφου εχουν την ίδια βασική φιλοσοφία των οριακών καταστάσεων. Επίσης χαρακτηρίζονται από πληρότητα, υψηλή επιστημονική στάθμη, ευχρηστία και τέλος εχουν εφαρμοσθεί στη πράξη ότια μια σειρά ετών και η εφαρμοσιμότητα τους δεν αμφισβητείται. Εποι λοιπόν αναλυτικά χρησιμοποιήθηκαν οι παρακάτω κανονισμοί:

- Για την φόρτιση ανέμου CP3:CHAPTER V:PART 2:1972.
- Για τα κινητά φορτία δαπέδων Ελληνικός κανονισμός φορτίσεως δομικών έργων (ΕΚΦΔΕ).
- Για την διαστασιολόγηση του μεταλλικού σκελετού BS 5950:PART 1, PART 3.
- Για την διαστασιολόγηση των συμμέτων πλακών BS 5950:PART4.

- Για την σεισμική φόρτιση NEAK

Θα πρέπει εδώ να αναφερθεί ότι επελέγη η ζώνη σεισμικής επικινδυνότητας III ώστε τα εξαγόμενα συμπεράσματα σχετικά με την αποτελεσματικότητα των διαφόρων κατακορύφων συστημάτων ακαμψίας, να αφορούν και τις ζώνες υψηλής σεισμικής επικινδυνότητας. Επίσης επελέγη έδαφος κατηγορίας B (μέσο έδαφος). Υπολογίσθηκαν δε, κατόπιν δυναμικής ανάλυσης, οι ιδιοπερίοδοι του κτιρίου και ότια τις δύο λύσεις, και με βάση την μικρότερη ιδιοπερίοδο που προέκυψε και την κατηγορία του εδάφους υπολογίσθηκε το τροποποιημένο ελαστικό φάσμα σχεδιασμού Bd(T).

## 2. ΑΞΙΟΛΟΓΗΣΗ ΑΠΟΤΕΛΕΣΜΑΤΩΝ

### 2.1 Σύμμικτη πλάκα - Σύμμικτες δοκοί - Στύλοι που δεν

#### ανήκουν στο κατακόρυφο σύστημα ακαμψίας

Οι σύμμικτες δοκοί, οι εσωτερικοί στύλοι στη λίστη 1 και οι εσωτερικοί καθώς και ορισμένοι στύλοι της περιμέτρου στη λίστη 2, εφόσον δεν ανήκουν στο κατακόρυφο σύστημα ακαμψίας του κτιρίου, δεν υπολογίζονται ότια σεισμικές δράσεις αλλά μόνον ότια τα κατακόρυφα μόνιμα και κινητά φορτία των δαπέδων και το ίδιον βάρος αυτών. Η σύμμικτη πλάκα υπολογίζεται ομοίως ότια τα κατακόρυφα μόνιμα και κινητά φορτία ενώ η επάρκειά της ότια ανάληψη και μεταφορά των σεισμικών φορτίων από τα κέντρα μαζών στο κατακόρυφο σύστημα ακαμψίας είναι αυτονόητη. Λόγω της μεγάλης αντοχής του πτυχωτού χαλυβδόφυλλου, του ικανού πάχους σκυροδέματος πάνω από το χαλυβδόφυλλο, και τέλος λόγω των διατμητικών συνδέσμων που συνδέουν τη σύμμικτη πλάκα με τις δοκούς του σκελετού.

### 2.2 Κατακόρυφο σύστημα ακαμψίας λίστη 1

Εγινε στατική επίλυση του συστήματος ότια κατακόρυφα μόνιμα και κινητά φορτία, ότια συνδυασμό ανέμου και κατακορύφων φορτίων, και ότια σεισμικούς συνδυασμούς που περιλαμβάνουν κατακόρυφα φορτία  $G+0.3Q$  και σεισμό σε διάφορες διευθύνσεις. Δυσμενέστερη ότια την διαστασιολόγηση προέκυψε σαφώς η φόρτιση των σεισμικών συνδυασμών.

#### 2.2.1 Πλαίσια αξόνων A και D

Καθοριστικό κριτήριο ότια την διαστασιολόγηση των πλαϊσίων αποτέλεσε η απαίτηση του NEAK ότια τον περιορισμό

των οριζοντίων παραμορφώσεων στις στάθμες των ορόφων (χωνιακή παραμόρφωση <7% για οργανισμό πλήρωσης από υαλοστάσιο με μεταλλικό σκελετό), καθώς επίσης και ο περιορισμός σε κάθε δροφο του δείκτη ευαισθησίας πλευρικής παραμόρφωσης θ (επιρροές 2ας τάξεως). Σημειώνεται ότι ο περιορισμός της χωνιακής παραμόρφωσης και του συντελεστή θ σύμφωνα με NEAK, οδήγησε και σε τιμή των συντελεστών  $\xi_1 < 1$ . Συνεπώς οι δροφοι προέκυψαν μη εύστρεπτοι και έτσι το κτέριο θεωρείται κανονικό σύμφωνα με τις απαιτήσεις του NEAK, και επιτρέπεται η εφαρμογή της ισοδύναμης στατικής μεθόδου για τον υπολογισμό των σεισμικών φορτίων και της κατανομής τους καθ'ύψος.

Για την ικανοποίηση λοιπόν των παραπάνω απαιτήσεων του NEAK προέκυψαν μεγάλες διατομές ζυγωμάτων (μεγαλύτερες απ' ότι θα προέκυπταν με το κριτήριο της αντοχής και μόνον). Επίσης η ανάγκη εξασφάλισης των ζυγωμάτων από στρεπτοκαμπτικό λυγισμό, ώστε να υπάρχει δυνατότητα σχηματισμού πλαστικών αρθρώσεων, οδήγησε στη διάταξη 3 ή 4 εγκαρσίων δοκών, οι οποίες συνδέονται το ζύγωμα με την απέναντι παράλληλη δοκό του δαπέδου και εξασφαλίζονται το κάτω πέλμα από πλευρική παρέκκλιση.

Περαιτέρω η απαίτηση του NEAK για αποφυγή σχηματισμού μηχανισμού ορόφου και συνακόλουθα η ανάγκη για ικανοτικό σχεδιασμό των στύλων, οδήγησε σε υπερδιαστασιολόγηση των στύλων, δεδομένου ότι η ικανοτική ροπή σχεδιασμού των στύλων προκύπτει με βάση τις τελικές ροπές αντοχής των δοκών. Επίσης η ανάγκη υπολογισμού των συνδέσεων ζυγωμάτων-στύλων σε υπεραντοχή οδήγησε σε σχετικά μεγάλου ύψους εντατικές των κρύβων, για την ένταξη των αναγκαίων κοχλιών αφενός και

αφετέρου ότι να προκύψουν επαρκείς οι εξωρραφές συγκρότησης ζυγώματος-μετωπικής πλάκας, καὶ να αποφευχθεῖ ἔτσι η λύση των εσωρραφών πλήρους διεύσδυσης που καὶ αντιοικονομικές είναι καὶ δύσκολες στον ποιοτικό ἐλεγχό τους.

Τέλος σημειώνεται ότι η απαίτηση τού NEAK ότι ικανοτικό σχεδιασμό της θεμελίωσης οδήγησε σε πολύ υψηλές τιμές της ροπής υπολογισμού των πελμάτων των στύλων πράγμα που συνεπάγεται μεγάλες πλάκες πέλματος, μεγάλου πάχους, καὶ διάταξη πολλών μεγάλης διαμέτρου αγκυρών.

#### 2.2.2 Διαχώνιοι σύνδεσμοι ακαμψίας αξόνων 1 καὶ 6

Στους διαχωνίους συνδέσμους ο NEAK προδιαγράφει μικρότερη τιμή συντελεστή σεισμικής συμπεριφοράς  $q=3$  σε σχέση με τα πλαίσια διου  $q=4$ , καὶ συνεπώς μεγαλύτερα σεισμικά φορτία. Εντούτοις, παρά τα μεγαλύτερα σεισμικά φορτία υπολογισμού των συνδέσμων αυτών, καὶ παρά το γεγονός ότι ο κάθε σύνδεσμος καταλαμβάνει ένα μόνο φάτνωμα αντι των πέντε φατνωμάτων του κάθε πλαίσιου, καθοριστικό κριτήριο ότι την διαστασιολόγησή του δεν αποτέλεσε ο περιορισμός της γωνιακής παραμόρφωσης καὶ του συντελεστή θ, διπλας στα πλαίσια, αλλά η αντοχή. Για την διαστασιολόγηση των διαχωνίων στοιχείων ακολουθήθηκε η σύσταση του NEAK ότι ανάληψη της συνολικής σεισμικής δράσης από τις εφελκυσμένες διαχώνιες μόνον, με αγνόηση της συμμετοχής των βλιθομένων, καθόσον η επιλογή αυτή οδηγεῖ σε οικονομικότερη διαστασιολόγηση των διαχωνίων στοιχείων προέκυψαν με το-κριτήριο της αντοχής. Ενώ η απαίτηση περιορισμού της ανηγμένης λυγκορότητας ικανοποιήθηκε αυτόματα καὶ δεν αποτέλεσε κριτήριο

σχεδιασμού. Πρέπει να αναφερθεί οτι επελέγησαν κοιλοδόκοι σαν διατομές των διαγωνίων στοιχείων διότι αφενός, δημοσ αναφέρεται στη διεθνή βιβλιογραφία, λόγω της συμμετρίας τους παρουσιάζουν καλύτερη συμπεριφορά σε σχέση με ασύμμετρες διατομές, και αφετέρου για λόγους συνδεσμολογίας δημοσ αναφέρεται παρακάτω.

Η διαστασιολόγηση των διαγωνίων στοιχείων με το κριτήριο της αντοχής οδήγησε σε σχετικά μικρές τιμές του ικανοτικού συντελεστή ααα, με βάση τον οποίο έγινε ο σχεδιασμός των ζυγωμάτων και στύλων καθώς και των συνδέσεων των διαγωνίων στοιχείων. Εντούτοις δημοσ λόγω της στατικής λειτουργίας του συνδέσμου αυτού, δημοσ η ροπή ανατροπής αναλαμβάνεται μόνο μέσω αξονικών δυνάμεων των στύλων, προέκυψε πολύ υψηλή τιμή της ικανοτικής θλιπτικής αξονικής δύναμης του στύλου, και συνακόλουθα μεγάλη διατομή στύλου (HEB 450 από ποιότητα χάλυβα St 52 ενώ δημοσ ο υπόλοιπος σκελετός είναι από St 37). Όσον αφορά τα ζυγώματα δεν υπήρξε ανάγκη διάταξης προσθέτων δοκών για την αντιστήριξη του κάτω πέλματος, δημοσ έγινε στα πλαίσια, δεδομένου δημοσ υπάρχουν οι ανα 2m δοκοί του δαπέδου.

Για τις συνδέσεις των διαγωνίων στοιχείων με τα ζυγώματα προτιμήθηκε η λύση της εργοταξιακής συγκρίτησης των διαγωνίων επι κομβοελάσματος που διατάσσεται στον αξονα του ζυγώματος, αντί της εργοταξιακής κοχλίωσης. Τούτο διότι, παρά την δυσχέρεια εκτέλεσης ποιοτικά αποδεκτών εργοταξιακών συγκολλήσεων, η λύση της κοχλίωσης είναι στην προκειμένη περίπτωση πρακτικά ανέψικτη λόγω του πολύ μεγάλου αριθμού κοχλιών υψηλής αντοχής που απαιτούνται για την μεταφορά της δύναμης που προκύπτει από την απαίτηση ελέγχου της σύνδεσης

σε υπεραντοχή. Επίσης η σύνδεση ζυγώματος και διαγωνίου μετατου στύλου (σύνδεση ζυγώματος - στύλου αρθρωτή) σχεδιάζεται σε υπεραντοχή (ικανοτικός σχεδιασμός) και διαμορφώνεται με εργοτακτική κοχλίωση επι του κορμού του στύλου μέσω μετωπικής πλάκας.

Τέλος αναφέρεται ότι παρά την θεώρηση αρθρωτής σύνδεσης του στύλου στην βάση του, λόγω της μεγάλης εψελκυστικής αξονικής δύναμης που προέκυψε από τον ικανοτικό σχεδιασμό, απαιτήθηκε η διάταξη μεγάλου πλήθους αγκυρών μεγάλης διαμέτρου σε αντίστοιχα μεγάλη πλάκα πέλματος.

### 2.3 Κατακόρυφο σύστημα ακαμψίας λύσης 2

Έκκεντροι δικτυωτοί σύνδεσμοι ακαμψίας αξόνων A, D,

1 κατ 6

Οπως αναφέρθηκε διατάχθηκαν 4 συνολικά έκκεντροι δικτυωτοί σύνδεσμοι ενός φατνώματος, ένας στο μέσο της κάθε πλευράς της περιμέτρου του κτιρίου. Οι συνδέσεις ζυγωμάτων - στύλων θεωρήθηκαν αρθρωτές (οχι συνδέσεις ροπής) και η σύνδεση των στύλων στη βάση τους θεωρήθηκε επίσης αρθρωτή. Οπως κατέδειξε σχετική οικονομοτεχνική μελέτη που έχινε, η παραπάνω θεώρηση καταλήγει σε μικρότερη διατομή στύλων και πέλματος, ενώ η μείωση των παραμορφώσεων του συστήματος η οποία επιτυγχάνεται με συνδέσεις ροπής αποδείχθηκε δτι είναι αμελητέα. Επίσης από την ευχερή διαστασιολόγηση που προέκυψε με σχετικά μικρά μεγέθη διατομών αποδεικνύεται σκόπιμη η διάταξη έκκεντρου δικτυωτού συνδέσμου σε ένα μόνο φάτνωμα, για κάθε ένα από τους 4 συνδέσμους, και δεν χρειάσθηκε να εξετασθούν πιο πολύπλοκες λύσεις όπως συνδυασμός πλάτισμου

κατ εκκέντρου δικτυωτού συνδέσμου. Θεωρούμε οτι τέτοια πλο  
περίπλοκα συστήματα καθίστανται αναγκαία σε κτίρια με πολύ<sup>1</sup>  
μεγαλύτερο αριθμό ορόφων.

Ως προς την διαμόρφωση των εκκέντρων δικτυωτών  
συνδέσμων επελέγη η λίμνη της συμμετρικής διάταξης δύο  
διαγωνίων σε κάθε δροφό, οι οποίες συγκλίνουν στο ζύγωμα με  
εκκεντρότητα που αποτελεί κατ το μήκος της δοκού σύζευξης,  
χια λόγους αφενδός μεν μικροτέρων διάτομών διαγωνίων κατ  
αφετέρου διότι η διάταξη ενδιαφέρει μόνον διαγωνίου στοιχείου κατ  
συνεπώς δοκού σύζευξης στο άκρο του ζυγόματος, θα απαιτούσε  
κατά τα προτεινόμενα στην Αμερικάνικη βιβλιογραφία τη  
σύνδεση ζυγόματος κατ στύλου μέσω εργοταξιακών εσωρραφών  
πλήρους διείσδυσης που θεωρούνται πολύ δύσκολο να  
εκτελεστούν, κυρίως χια λόγους ποιοτικού ελέγχου. Το μήκος  
της δοκού σύζευξης επελέγη με κριτήριο να προκύπτει στη δοκό<sup>2</sup>  
σύζευξης μηχανισμός διατμητικών πλαστικών αρθρώσεων κατ  
μάλιστα να ικανοποιεί τη σχέση  $0.5 < l_c / l_0 < 0.65$ , διότι έχει  
αποδειχθεί, οπως αναφέρεται στη διεθνή βιβλιογραφία, οτι  
στην περιοχή αυτή μεγιστοποιείται η πλαστιμότητα της δοκού  
σύζευξης. Μάλιστα εδώ σημειώνεται οτι ο NEAK δεν κάνει  
διάκριση θεωρώντας οτι σε διεσπαρτισμένης, είτε  
μηχανισμού διατμητικών πλαστικών αρθρώσεων είτε μηχανισμού  
καμπτικών είτε μικτού, επιτυγχάνεται μεγάλη πλαστιμότητα.

Κατ εδώ δηλαδή κατ στούς διαγωνίους συνδέσμους της λίμνης  
1 καθοριστική χια την διαστασιολόγηση υπήρξε η αντοχή των  
δοκών σύζευξης στη τέμνουσα του δυσμενέστερου σεισμικού  
συνδυασμού κατ δχι η απαίτηση του NEAK χια περιορισμό της  
χωνιακής παραμόρφωσης κατ του συντελεστή θ. Στα άκρα της  
δοκού σύζευξης εξασφαλίζεται η απαιτούμενη αντιστήριξη των

πελμάτων μέσω της διαταξης εγκαρσίων δοκών που συνδέουν το ζύγωμα, στα άκρα της δοκού σύζευξης, με την απέναντι παράλληλη δοκό του σκελετού. Τα υπόλοιπα στοιχεία των εκκέντρων δικτυωτών συνδέσμων, δηλαδή διαγώνια στοιχεία, στύλος και ζυγώματα στη περιοχή εκτός δοκών σύζευξης, υπολογίσθηκαν ικανοτικά, με βάση τον ικανοτικό συντελεστή που ορίζεται ο NEAK. Οι τιμές των ικανοτικών συντελεστών ανά προέκυψαν σε διάφορους ορθογώνιους σχετικά μικρές λόγω της εξάντλησης της αντοχής των δοκών σύζευξης. Επελέγησαν και εδώ κοιλοδοκούς όπως τα διαγώνια στοιχεία όπως τους διάφορους λόγους δύος και στους διαγώνιους συνδέσμους. Ωστόσο αφορά τις συνδέσεις των διαγωνίων στοιχείων στο ζύγωμα (στα άκρα της δοκού σύζευξης), προτιμήθηκε και εδώ δύος στη περίπτωση των διαγωνίων συνδέσμων της λίμνης 1, η εργοταξιακή συγκρότηση με εξωρραφές των κοιλοδοκών επι κομβοελάσματος που διατάσσεται στον άξονα του ζυγώματος, στο άκρο της δοκού σύζευξης και εξ' ολοκλήρου εκτός του μήκους αυτής, οπως απαιτείται από την διεθνή βιβλιογραφία. Ο τρόπος αυτός σύνδεσης που ακολουθήθηκε στη μελέτη πρέπει να σημειωθεί ότι αποτελεί κοινή πρακτική στις Η.Π.Α., οπου και εισήχθη όπως πρώτη φορά το σύστημα αυτό όπως την ανάληψη οριζοντίων φορτίων.

Η σύνδεση της διαγωνίου με το ζύγωμα, στη θέση σύνδεσης με τον στύλο, χίνεται ομοίως μέσω εργοταξιακών εξωρραφών επι κομβοελάσματος, και τέλος η σύνδεση ζυγώματος-διαγωνίου επι του στύλου. Επιτυγχάνεται μέσω μετωπικής πλάκας και εργοταξιακής κοχλίωσης στο πέλμα του στύλου. Τέλος και εδώ η ανάγκη ικανοτικού σχεδιασμού των στύλων και των διαγωνίων οδηγεί σε πέλματα σχετικά μεγάλων διαστάσεων και με μεγάλο αριθμό αγκυρών.

## 2.4 ΘΕΜΕΛΙΩΣΗ

### 2.4.1 ΘΕΜΕΛΙΩΣΗ ΕΣΩΤΕΡΙΚΩΝ ΣΤΥΛΩΝ

Ολοι οι εσωτερικοί στύλοι θεμελιώνονται με μεμονωμένα κεντρικά πέδιλα τα οποία συνδέονται μεταξύ τους κατ με την περιμετρική πεδιλοδοκό, που αναφέρεται στην επόμενη παράγραφο, με συνδετήριες δοκούς διατομής 25/80. Δεδομένου ότι οι στύλοι αυτοί δεν συμμετέχουν στο κατακόρυφο σύστημα ακαμψίας του κτιρίου, δεν μεταφέρουν σεισμικές δράσεις στα θεμέλια τους αλλά μόνο κατακόρυφα φορτία από τα μόνιμα και κινητά φορτία των δαπέδων.

### 2.4.2 ΘΕΜΕΛΙΩΣΗ ΤΩΝ ΣΤΥΛΩΝ ΠΟΥ ΑΝΗΚΟΥΝ ΣΤΟ ΚΑΤΑΚΟΡΥΦΟ

#### ΣΥΣΤΗΜΑ ΑΚΑΜΨΙΑΣ ΚΑΘΩΣ ΚΑΙ ΤΩΝ ΛΟΙΠΩΝ ΠΕΡΙΜΕΤΡΙΚΩΝ ΣΤΥΛΩΝ

Οι στύλοι που ανήκουν στο κατακόρυφο σύστημα ακαμψίας, καὶ που βρίσκονται όλοι στη περιμετρο του κτιρίου, καθώς καὶ οι λοιποί στύλοι της περιμέτρου που δεν ανήκουν σ' αυτό, θεμελιώνονται σε ενταία περιμετρική πεδιλοδοκό. Καθοριστική για τον έλεγχο τών τάσεων του εδάφους καὶ την διαστασιολόγηση της πεδιλοδοκού προέκυψε η φόρτιση από τους σεισμικούς συνδυασμούς.

Οι δράσεις στην πεδιλοδοκό των στύλων που δεν ανήκουν στο κατακόρυφο σύστημα ακαμψίας είναι μόνον κατακόρυφα φορτία από τα δάπεδα ( $G+0.3Q$ ), ενώ οι δράσεις από το κατακόρυφο σύστημα ακαμψίας είναι για τις λύσεις 1 καὶ 2 αναλυτικά οι εξής:

-Λύση 1 : Οι δράσεις των στύλων των πλατινών προκύπτουν από τα εντατικά μεγέθη M, Q, N στη βάση τους, από τον δυσμενέστερο

σεισμικό συνδυασμό, με ικανοτική μεγέθυνση σύμφωνα με τον ικανοτικό συντελεστή που προβλέπει ο NEAK, με διαφορετικό κατά κανόνα ικονοτικό συντελεστή όπα κάθε στύλο. Σημειώνεται ότι μεγεθύνονται μόνον τα εντατικά μεγέθη τα οφειλόμενα στον σεισμό καὶ δχι αυτά που οφείλονται στην φόρτιση G+0.3Q. Για τους διαγωνίους συνδέσμους, οι δράσεις προκύπτουν από τις αξονικές δυνάμεις στύλων καὶ διαγωνίου από τον δυσμενέστερο σεισμικό συνδυασμό, με ικανοτική μεγέθυνση με βάση τον ικανοτικό συντελεστή που προέκυψε στον 1ο δροφό του συνδέσμου. Η ικανοτική μεγέθυνση γίνεται δπως καὶ στις δράσεις των πλαισίων, δηλαδή μεγεθύνονται μόνο οι αξονικές δυνάμεις που οφείλονται στον σεισμό.

-Λύση 2 : Για τους εκκέντρους δικτύωτούς συνδέσμους καὶ των δύο διευθύνσεων, οι δράσεις προκύπτουν από τις αξονικές δυνάμεις στύλων καὶ διαγωνίων, από τον δυσμενέστερο σεισμικό συνδυασμό, με ικανοτική μεγέθυνση με βάση τον ικανοτικό συντελεστή που προέκυψε από τη δοκό σύνευξης του 1ου ορόφου. Η ικανοτική μεγέθυνση γίνεται καὶ εδώ μόνον στις αξονικές δυνάμεις που οφείλονται στον σεισμό.

Καὶ στις δύο λύσεις οι μεγάλες ικανοτικές δράσεις που προέκυψαν στην θεμελίωση από το κατακόρυφο σύστημα ακαμψίας οδήγησε στην ανάγκη θεμελίωσης ολων των περιμετρικών στύλων σε ενταία περιμετρική πεδιλοδοκό. Για λόγους ασφαλείας κρίθηκε σκόπιμο ο υπολογισμός της περιμετρικού πεδιλοδοκού να γίνεται οχι ως ενταίας αλλά με διάσπαση αυτής στις 4 επι μέρους πεδιλοδοκούς που την απαρτίζουν.

Κριτήριο για την διαστασιολόγηση των πεδιλοδοκών αποτέλεσε ο περιορισμός της αδρανούς περιοχής στο 1/2 της διατομής (οπώς προβλέπει ο NEAK) καὶ ο περιορισμός της

μέγιστης τάσης (λαμβανομένης υπόψη και της αλληλεπίδρασης των δύο ορίζοντες συνιστώσων της σεισμικής δράσης) κάτω από την θεωρητική στατική φέρουσα ικανότητα του εδάφους.

### 3. ΣΥΓΚΡΙΤΙΚΗ ΑΞΙΟΛΟΓΗΣΗ ΤΩΝ ΚΑΤΑΚΟΡΥΦΩΝ ΣΥΣΤΗΜΑΤΩΝ

#### ΑΚΑΜΨΙΑΣ ΤΩΝ ΛΥΣΕΩΝ 1 & 2 - ΣΥΜΠΕΡΑΣΜΑΤΑ

Αναφορικά με τα πλεονεκτήματα και τα μεινεκτήματα των διαφόρων συστημάτων ακαμψίας που εξετάσθηκαν, από δλα τα προαναφερθέντα προκύπτουν τα ακόλουθα συμπεράσματα:

##### α) Πλαίσια

Παρουσιάζουν αρχιτεκτονικά πλεονεκτήματα αφού δλα τα φατνώματα μένουν ανοικτά και δεν υπάρχει πρόβλημα στη διάταξη των αρχιτεκτονικών ανοιγμάτων, είτε τα πλαίσια διατάσσονται στη περίμετρο, είτε στο εσωτερικό του κτιρίου. Παρουσιάζουν το μειονέκτημα της μικρής σχετικά ακαμψίας, πράγμα που οδηγεί στην ανάγκη επιλογής πλαίσιων με μεγάλο αριθμό φατνωμάτων και με μεγάλα μεγέθη διατομών ζυγωμάτων και στύλων. Επίσης προκύπτει η ανάγκη διαμόρφωσης των συνδέσεων ζυγωμάτων-στύλων με ενισχύσεις και μεγάλο αριθμό κοχλιών, πράγμα που συνεπάγεται δαπανηρή κατεργασία. Για τους παραπάνω λόγους το πλαίσιο αποτελεί την πλέον δαπανηρή λύση καταλήγοντας στην μεγαλύτερη κατανάλωση χάλυβα ανα m2 κατόψεως του κτιρίου σε σχέση με τα άλλα εναλλακτικά συστήματα. Πρέπει τέλος να αναφερθεί ότι λόγω των μεγαλυτέρων ικανοτικών δράσεων του πλαίσιου στη θεμελίωση, σε σχέση με τα άλλα συστήματα, η λύση του πλαίσιου οδηγεί

καὶ σε δαπανηρότερη θεμελίωση.

β) Διαχώνιοι σύνδεσμοι ακαμψίας

Παρουσιάζουν αρχιτεκτονικά μετονέκτηματα αφού δεν παρέχουν την δυνατότητα διατάξεις αρχιτεκτονικών ανοιχμάτων. Παρά την μικρότερη τιμή του συντελεστή σεισμικής συμπεριφοράς  $q$ , σε σχέση με τα πλαίσια, παρουσιάζονται σαφώς οικονομικότεροι από αυτά καὶ δεν απαιτείται να διαταχθούν σε μεγάλο αριθμό φατνωμάτων. Παρουσιάζουν το μετονέκτημα μεγάλων διατομών στύλων καὶ επίσης το μεινέκτημα της σύνδεσης των διαχωνίων στοιχείων με εργοτακτικές συγκολλήσεις. Η θεμελίωση ταυτό σε σχέση με αυτήν των πλαίσιων προκύπτει οικονομικότερη παρά την μικρότερη τιμή του συντελεστή σεισμικής συμπεριφοράς  $q$ .

γ) Έκκεντροι δικτυωτοί σύνδεσμοι ακαμψίας

Από αρχιτεκτονική σκοπιά είναι πλεονεκτικότεροι από τους διαχώνιους συνδέσμους αφού παρέχουν την δυνατότητα διάταξης κάποιων ανοιχμάτων. Παρουσιάζουν το πλεονέκτημα της μεγάλης δυνατότητας απορρόφησης ενέργειας μέσω διατμητικών πλαστικών αρθρώσεων καὶ γι' αυτό πριμοδοτούνται από τον κανονισμό με υψηλή τιμή συντελεστή σεισμικής συμπεριφοράς ( $q=4$  οπως καὶ για πλαίσια). Παρουσιάζουν δημοποιημένη ακαμψία σε σχέση με τα πλαίσια με συνέπεια να επαρκεῖ η διάταξη τους σε πολύ μικρότερο αριθμό φατνωμάτων σε σχέση με τα πλαίσια.

Τελικά οι έκκεντροι σύνδεσμοι προκύπτουν οικονομικότεροι από τα δύο προαναφερθέντα συστημάτα τόσο από αποψη κατανάλωσης χάλυβα, δύο καὶ από αποψη θεμελίωσης (λόγω

των μικροτέρων ικανοτικών δράσεων σε αυτή σε σχέση με τα πλαίσια και λόγω της υψηλότερης τιμής η σε σχέση με τους διαγώνιους συνδέσμους).

Σαν μοναδικό μετρούμενο θα μπορούσε να αναφερθεί η ανάγκη συνδέσης των διαγωνίων με το ζύγωμα με εργοταξιακές συγκολλήσεις. Για δηλα τα παραπάνω πλεονεκτήματα που παρουσιάσαμε οι έκκεντροι δικτυωτοί σύνδεσμοι έχουν καθιερωθεί πλέον στις Η.Π.Α. αλλά και διεθνώς ως το πλέον αποτελεσματικό σύστημα ανάληψης σε ισμικών δράσεων.

Η μεγάλη οικονομικότητα που χαρακτηρίζει το κατακόρυφο σύστημα ακαμψίας με εκκέντρους δικτυωτούς συνδέσμους αποδείχθηκε και στην περίπτωση του κτιρίου της παρούσας μελέτης. Πράγματι, έγινε προμέτρηση χάλυβα του συνολικού σκελετού και στις δύο λίμενες και προέκυψαν τα ακόλουθα :

-Λύση 1: Συνολικό βάρος χάλυβα ανηγμένο ανά  $m^2$  κάτοψης

$$\text{ορόφου} = 75 \text{ Kg/m}^2$$

-Λύση 2: Συνολικό βάρος χάλυβα ανηγμένο ανά  $m^2$  κάτοψης

$$\text{ορόφου} = 59 \text{ Kg/m}^2$$

Συνεπώς η λύση 2 παρουσιάζεται οικονομικότερη σε σχέση με την λύση 1 κατά 20%. δυσον αφορά το συνολικό βάρος χάλυβα του κτιρίου.

**4. ΕΠΙΣΗΜΑΝΣΕΙΣ ΣΧΕΤΙΚΑ ΜΕ ΤΗΝ ΔΙΑΤΥΠΩΣΗ ΟΡΙΣΜΕΝΩΝ ΔΙΑΤΑΞΕΩΝ  
TOY NEAK**

Παρακάτω επισημαίνονται ορισμένες παράγραφοι του NEAK που κατά την κρίση μας θα πρέπει να επαναδιατυπωθούν η να προστεθεί κάποιο σχόλιο σχετικό στο κείμενο.

**α) Παράγ. 5.2.2 [1].** Η διατύπωση "Οι υπολογιστικές δράσεις Sfd, στις θέσεις έδρασης στοιχείων της ανωδομής (διεπιφάνεια θεμελίου-εδάφους ή πασσαλόδεσμου-πασσάλων)" προτείνουμε να αντικατασταθεί με την εξής: "Οι υπολογιστικές δράσεις Sfd στις θέσεις έδρασης στοιχείων της ανωδομής, δηλαδή στην άνω στάθμη των θεμελίων". Τούτο διέτει τα εντατικά μεγέθη στην διεπιφάνεια θεμελίου-εδάφους δεν είναι οι δράσεις Sfd στις θέσεις έδρασης στοιχείων της ανωδομής αλλά προκύπτουν από τις τελευταίες αφού ληφθούν υπόψη τούς των θεμελίων καθώς καὶ τούδιο βάρος θεμελίων καὶ επίχωσης.

Αν υπάρχει ειδικός λόγος για τον οποίο γίνεται αναφορά στην διεπιφάνεια θεμελίου-εδάφους ή πασσαλοδέσμου-πασσάλων, τότε να προστεθεί επεξηγηματικό σχόλιο διέτει με την παρούσα διατύπωση δεν προκύπτει σαφώς η απαίτηση ικανοτικού ελέγχου του ιδίου του θεμελίου.

**β) Παράγ. 5.2.2 [2].** Θεωρούμε σκόπιμο να προστεθούν τα ακόλουθα :

β1) Να δοθεί ο τύπος  $MR = Mpd / (1 - Ns/Npd)$  του Ευρωκώδικα 8 παρ. 3.5.7.2 για τον υπολογισμό της υπολογιστικής αντοχής MR. Στον παραπάνω τύπο  $Mpd$  είναι η υπολογιστική αντοχή σε ροπή χωρίς παρουσία αξονικής δύναμης,  $Npd$  είναι η υπολογιστική αντοχή σε αξονική δύναμη, καὶ  $Ns$  η μικρότερη αξονική δύναμη από τον σεισμικό συνδυασμό.

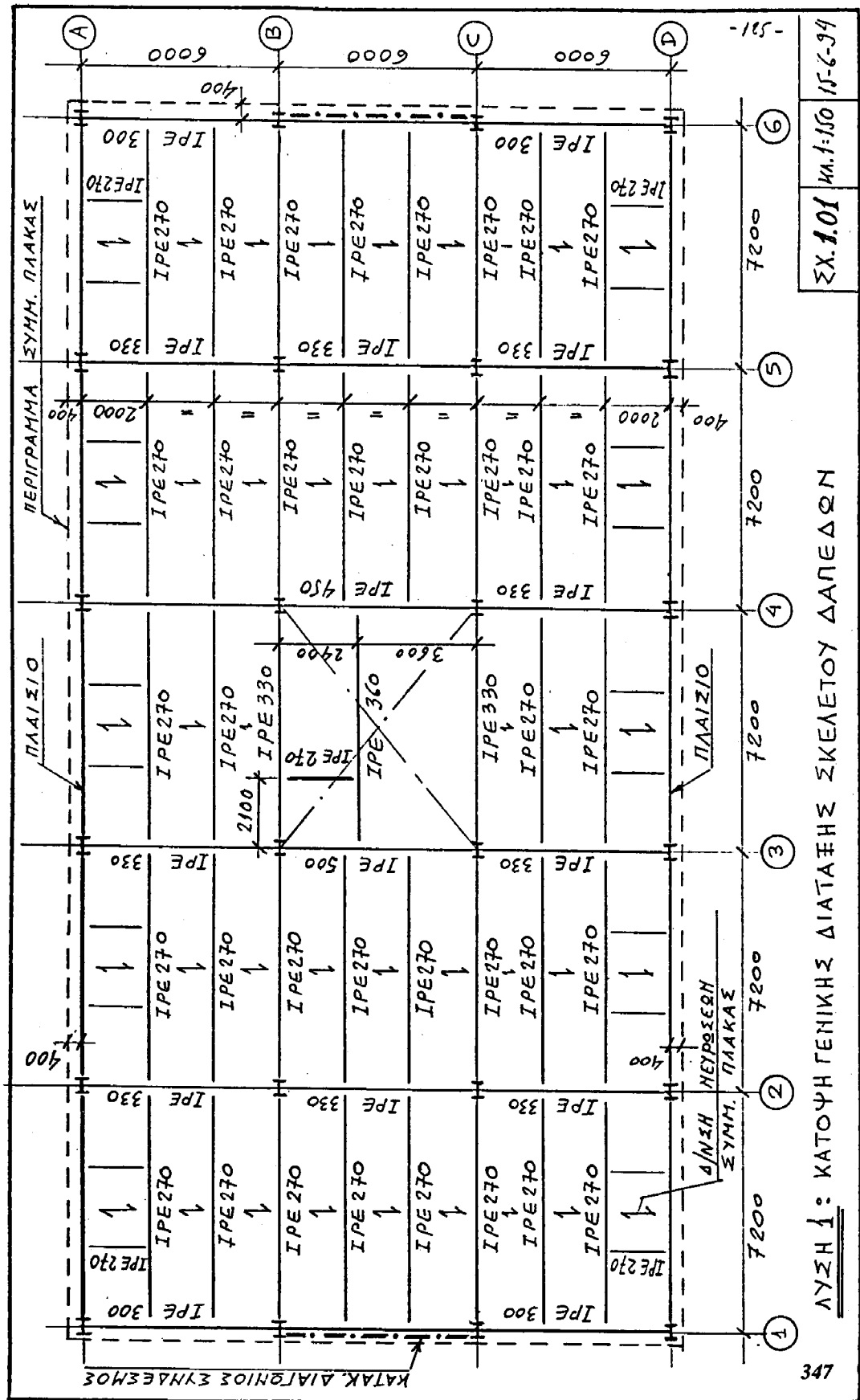
β2) Ειδικά όταν την υπολογιστική ροπή να καθοριστεί ως άνω δριο η τιμή 1.2MR οπου MR ειναι η υπολογιστική αντοχή σε ροπή, παρουσία της υπολογιστικής αξονικής δύναμης, οπως η τελευταία προκύπτει από την σχέση 5.1 (ικανοτικά μεγέθυμενη).

β3) Να δοθεί η διευκρίνιση ότι ο υπολογισμός του ικανοτικού συντελεστή με βάση τη σχέση 5.2 δεν αφορά δικτυωτούς συνδέσμους με και χωρίς εκκεντρότητα (σε κτίρια από χάλυβα). Σε αυτές τις περιπτώσεις ο συντελεστής αcd θα προκύπτει με βάση αυτά που ορίζονται στις παραγράφους Γ.5.3 [1] και Γ.6.3 [1].

γ) Παράγ. Γ.5.3 [1]. Αναφέρεται στην παράγραφο αυτή "Τα υποστυλώματα και οι δοκοί θα ελέγχονται σε λιγισμό υπό την επίδραση αξονικής δύναμης acdxNs (και ενδεχομένως καμπτικής ροπής Ms) οπου Ns και Ms ειναι αντίστοιχα η μέγιστη θλιπτική αξονική δύναμη και η αντίστοιχη ροπή όπως προκύπτει από την σεισμικό συνδυασμό (εν γένει Ms=0)". Η διατύπωση αυτή πρέπει να αντικατασταθεί από την εξής: "Τα υποστυλώματα και οι δοκοί θα ελέγχονται σε λιγισμό υπό την επίδραση αξονικής δύναμης Ng+acdxNè (και ενδεχομένως καμπτικής ροπής Mg+acdxMe) οπου Ng και Mg ειναι αντίστοιχα η θλιπτική αξονική δύναμη και η αντίστοιχη ροπή όπως προκύπτει από την φόρτιση των κατακορύφων φορτίων του σεισμικού συνδυασμού (εν γένει Mg=0). Nè και Me ειναι αντίστοιχα η μέγιστη θλιπτική αξονική δύναμη και η αντίστοιχη ροπή όπως προκύπτει από την σεισμική φόρτιση μόνον (εν γένει Me=0)".

Η παραπάνω προτεινόμενη διατύπωση δικαιολογείται από το γεγονός ότι τα εντατικά μεγέθη Ng και Mg δεν ειναι δυνατόν να μεγεθύνονται.

δ) Παράγ. Γ.6.1 [2]. Στο τέλος της παραγράφου αναφέρεται "Σε διεσ τις περιπτώσεις υπάρχει δυνατότητα μεγάλης πλαστιμότητας". Προτείνουμε να συμπληρωθεί ως εξής: "Σε διεσ τις περιπτώσεις υπάρχει η δυνατότητα μεγάλης πλαστιμότητας αλλά θεωρείται σκόπιμο να επιδιώκεται κυρίως διατμητική διαρροή (δοκού σύζευκτης με μηχανισμό διατμητικών πλαστικών αρθρώσεων), δηλαδή  $1c/1o < 0.8$  και ακόμα καλύτερα στη περιοχή  $0.5 < 1c/1o < 0.65$ ." Η παραπάνω άποψή, που υποστηρίζεται στην βιβλιογραφία, εχει τεκμηριωθεί πειραματικά (βλ. άρθρο "Structural Steel. Connections in Earthquake Resistant Design" by Jack G. Bouwkamp, proceedings of 1st National Conference On Steel Structures, Athens 1991).



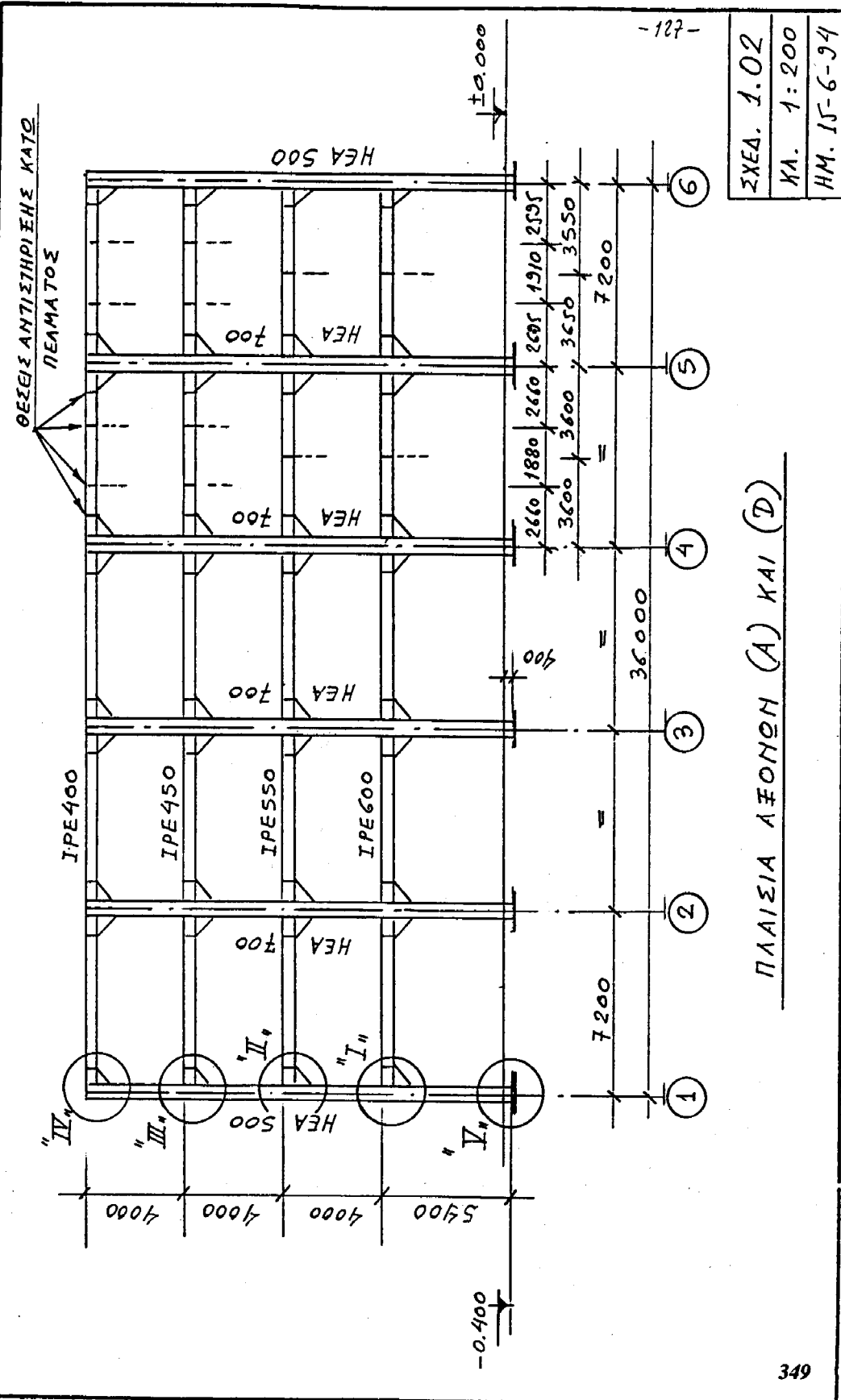
ΛΥΣΗ 1: ΚΑΤΟΥΨΗ ΓΕΝΙΚΗΣ ΔΙΑΤΑΞΗΣ ΣΚΕΛΕΤΟΥ ΔΑΠΕΔΩΝ

ΤΙΝΑΚΑΣ ΔΙΑΤΟΜΩΝ ΥΠΟΣΤΥΛΩΜΑΤΩΝ

	1	2	3	4	5	6
A	HEA 500	HEA 700	HEA 700	HEA 700	HEA 700	HEA 500
B	* HEB 450	HEA 300	HEB 340	HEB 340	HEA 300	* HEB 450
C	* HEB 450	HEA 300	HEB 340	HEB 340	HEA 300	* HEB 450
D	HEA 500	HEA 700	HEA 700	HEA 700	HEA 700	HEA 500

ΣΗΜ. \* Χάρυβας ποιότητας Fe 510

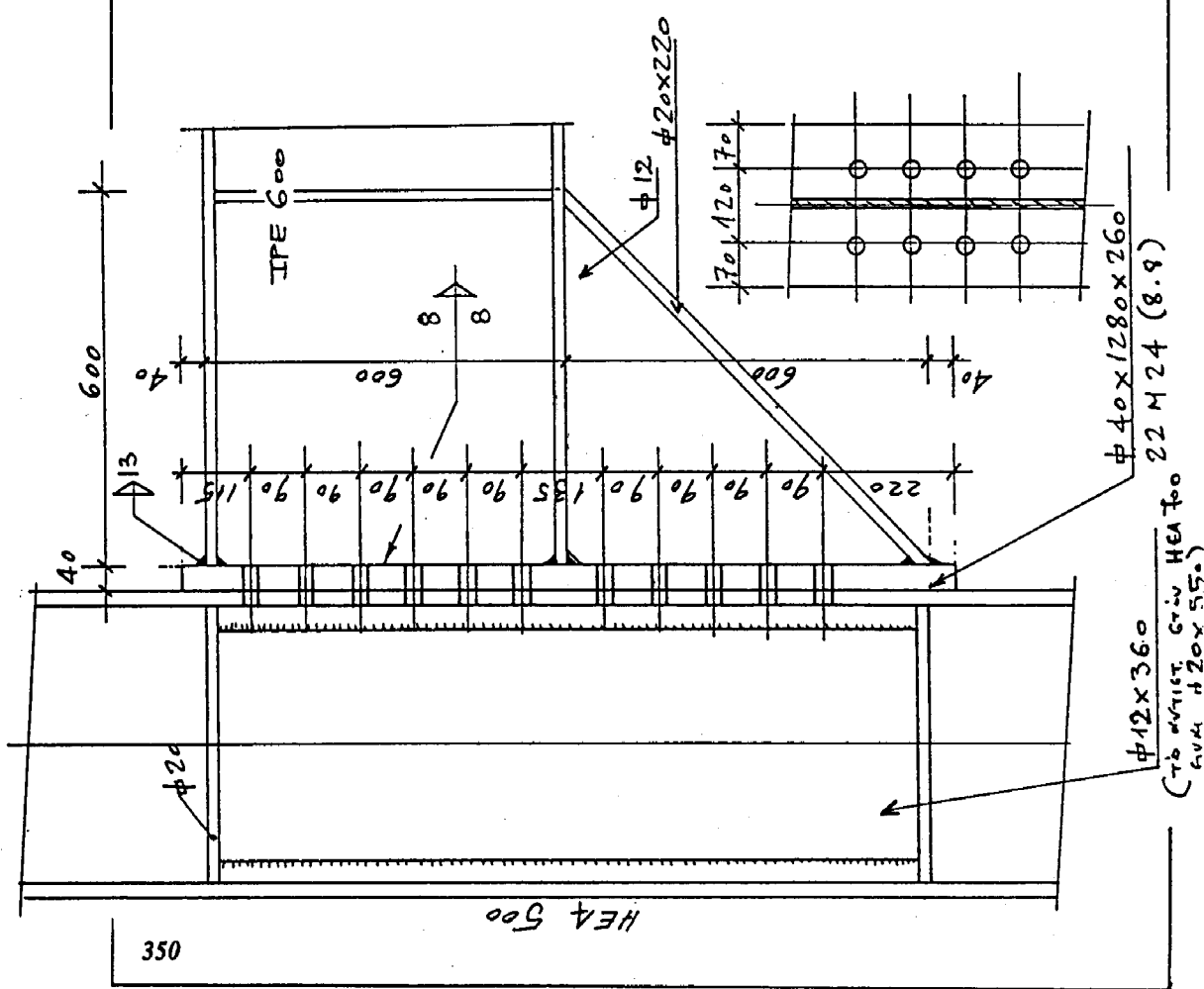
ΕΠΙΣΥΝΑΠΤΕΤΑΙ ΣΤΟ ΣΧΕΔΙΟ 1.01



LENTONE PERA I  
1:10

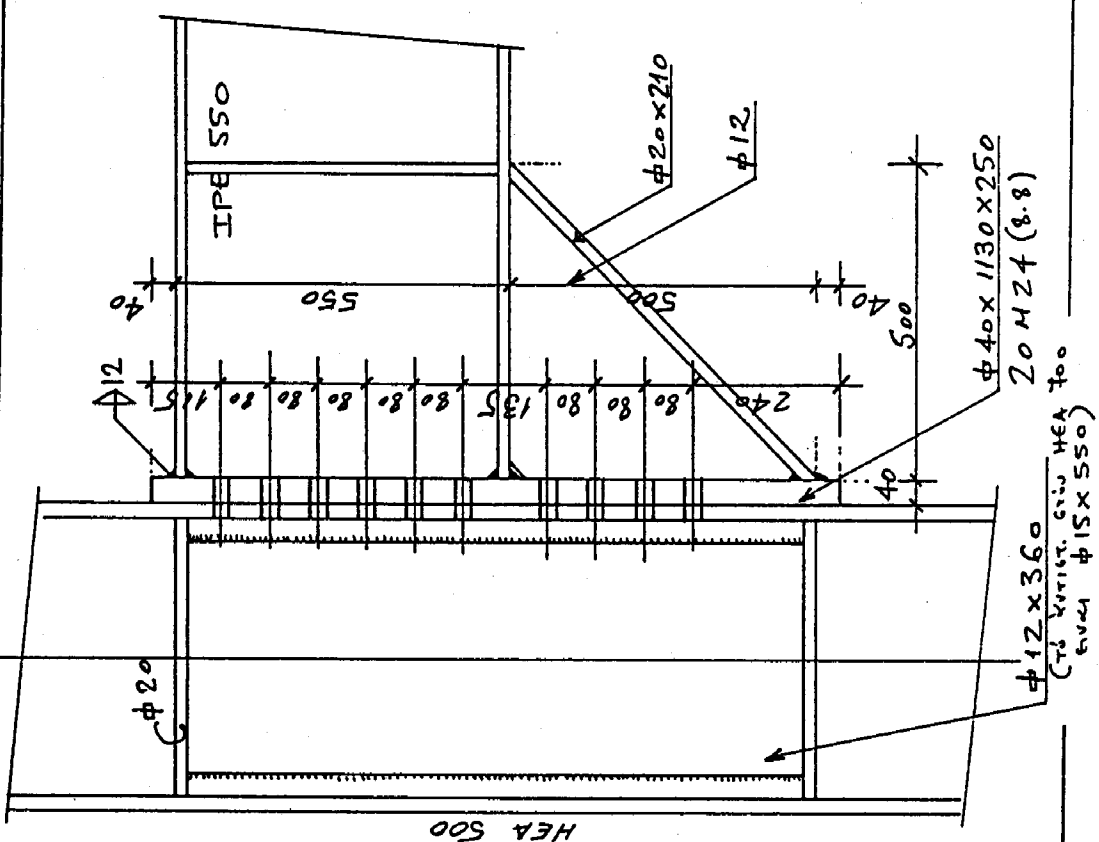
SXA. 1.03
KA. 1:10
HM. 15-6-94

$\phi 40 \times 1280 \times 260$   
 $\phi 12 \times 360$   
( $\phi 12 \times 120 \times 550$ , HEA 22 H 24 (8.9))



ЛЕНТОЧНАЯ II  
1:10

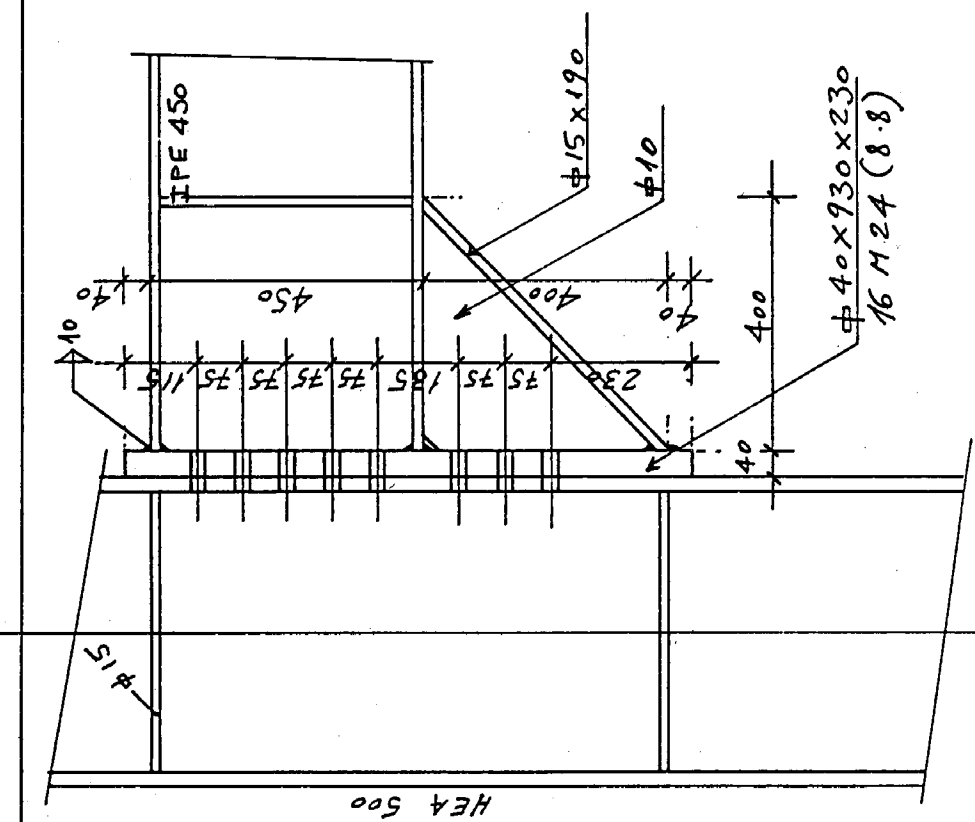
ΣХЕА. 1.04  
М. 1:10  
Н.М. 15-6-94



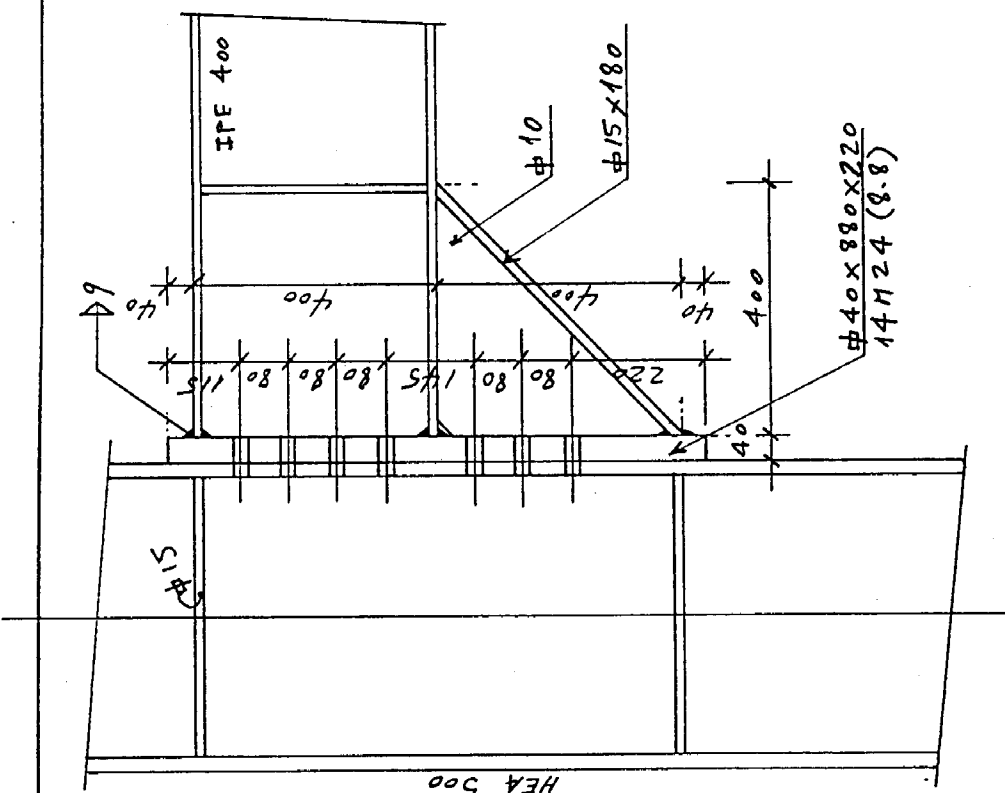
-130-

SXEA. 1.05
K1. 1:10
HM. 15-6-94

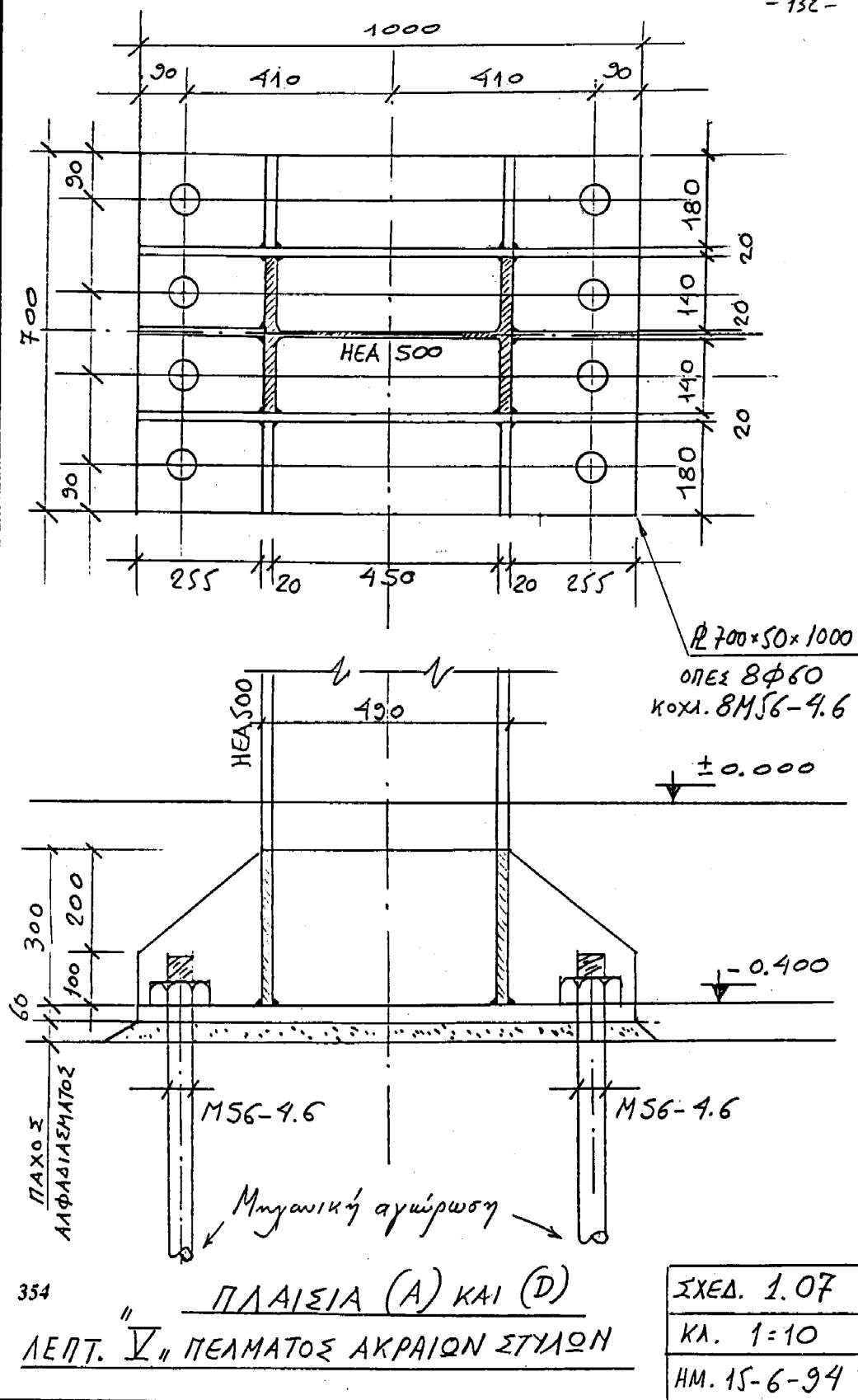
AENTONEREA III  
1:10

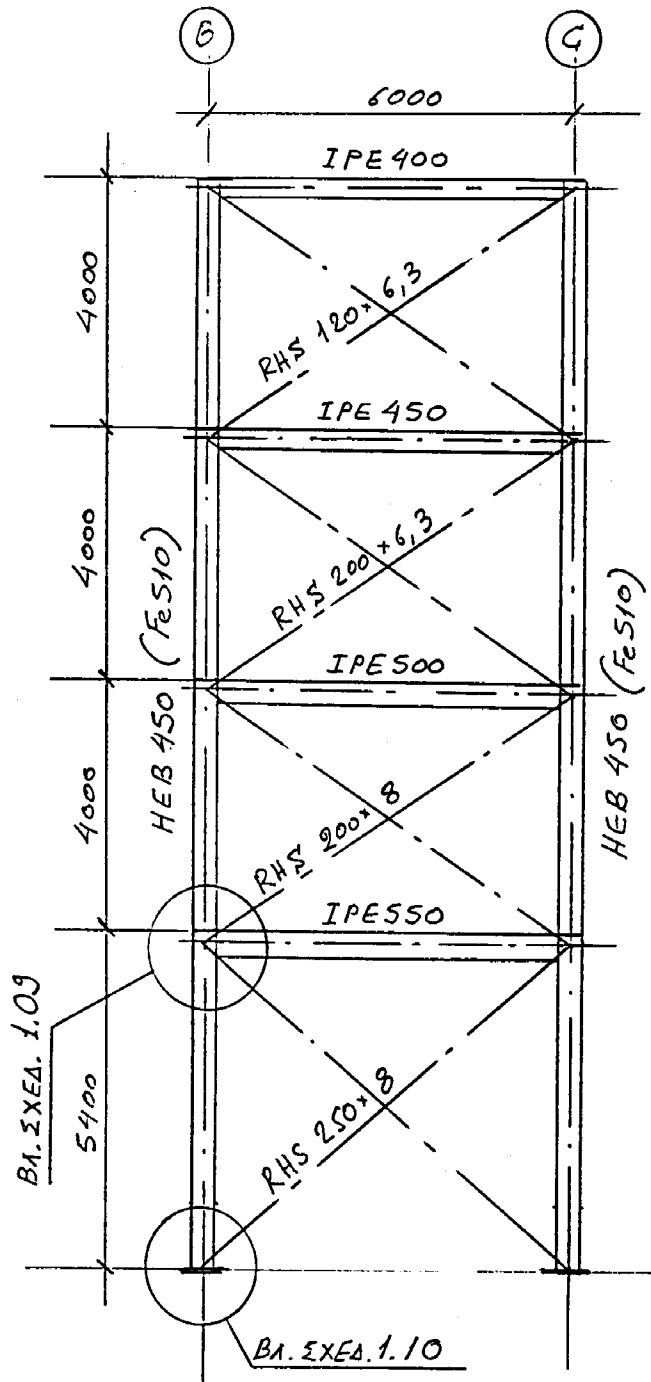


ЛЕНТОМЕРГА ТР  
1:10  
ΣХΕΔ. 1.06  
κλ. 1:10  
ΗΜ. 15-6-94



- 13c -

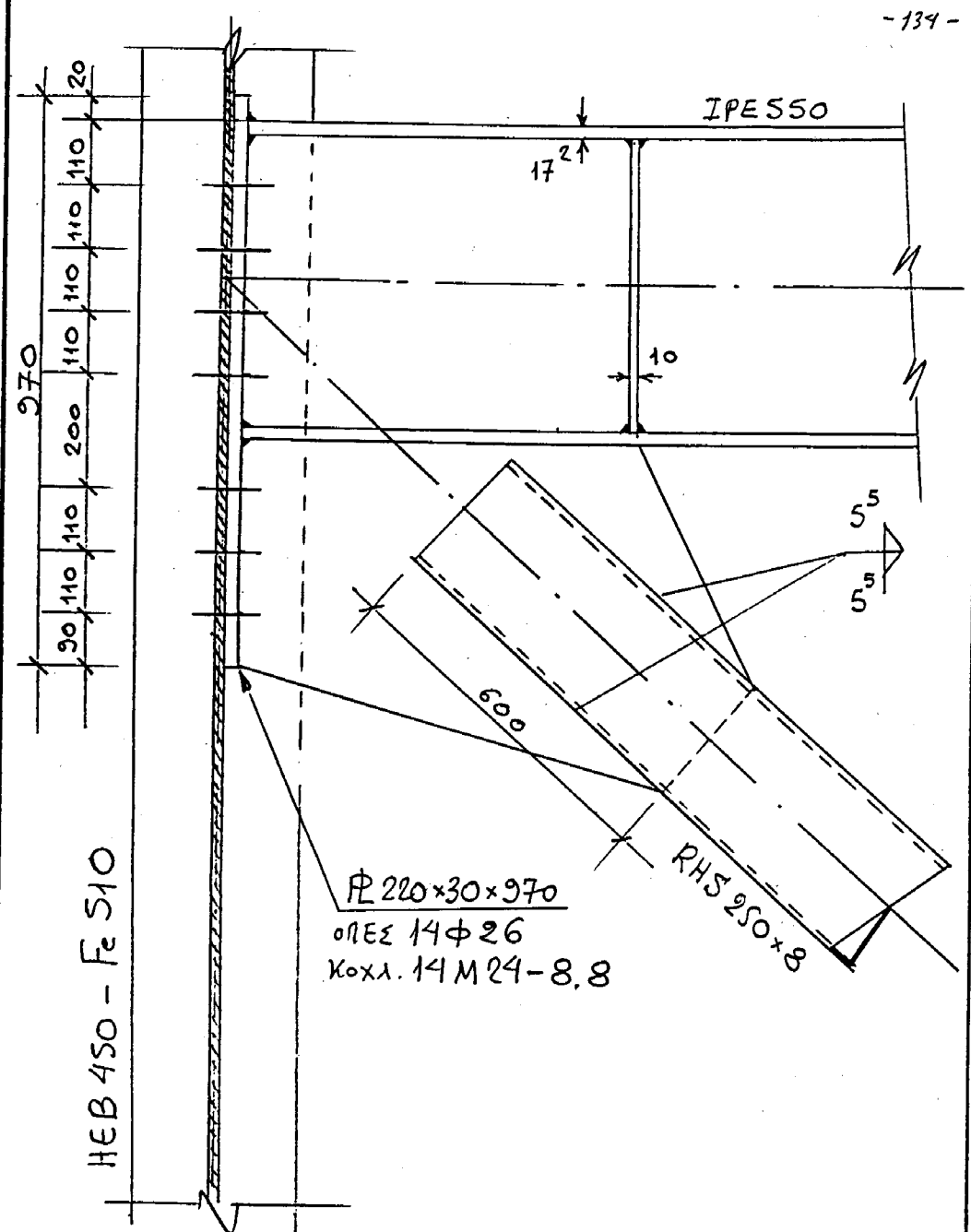




ΚΑΤΑΚΟΡΥΦΟΣ ΔΙΑΓΩΝΙΟΣ  
ΣΥΝΔΕΣΜΟΣ ΑΞΟΝΩΝ (1) και (6)

355

ΣΧΕΔ. 1.08
ΚΛ. 1:10
ΗΜ. 15-6-94



ΚΑΤΑΚΟΡΥΦΟΣ ΔΙΑΓΩΝΙΟΣ ΣΥΝΔΕΣΜΟΣ

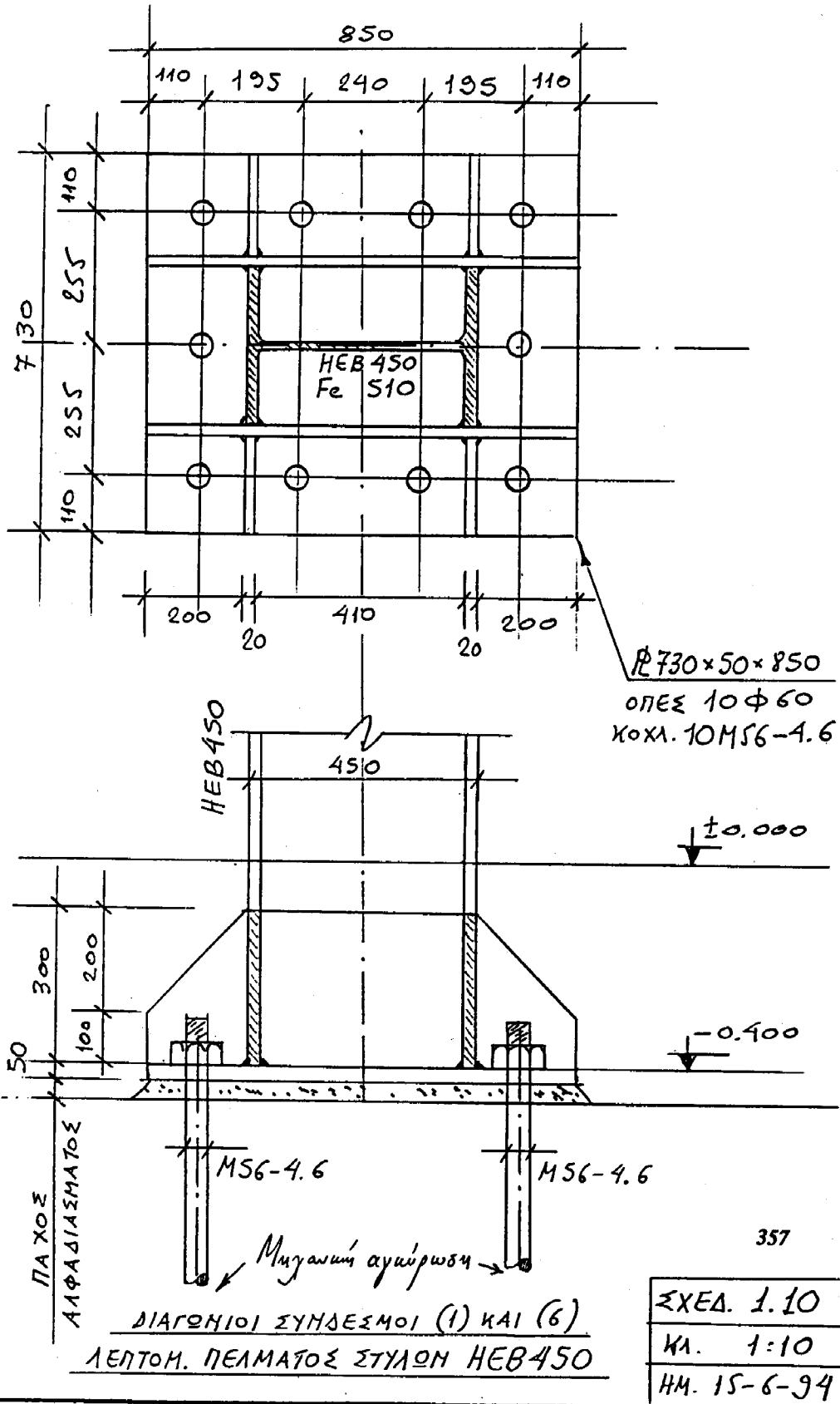
ΛΕΠΤΟΜ. ΚΟΜΒΟΥ ΔΙΑΓΩΝΙΟΥ-ΔΟΚΟΥ-

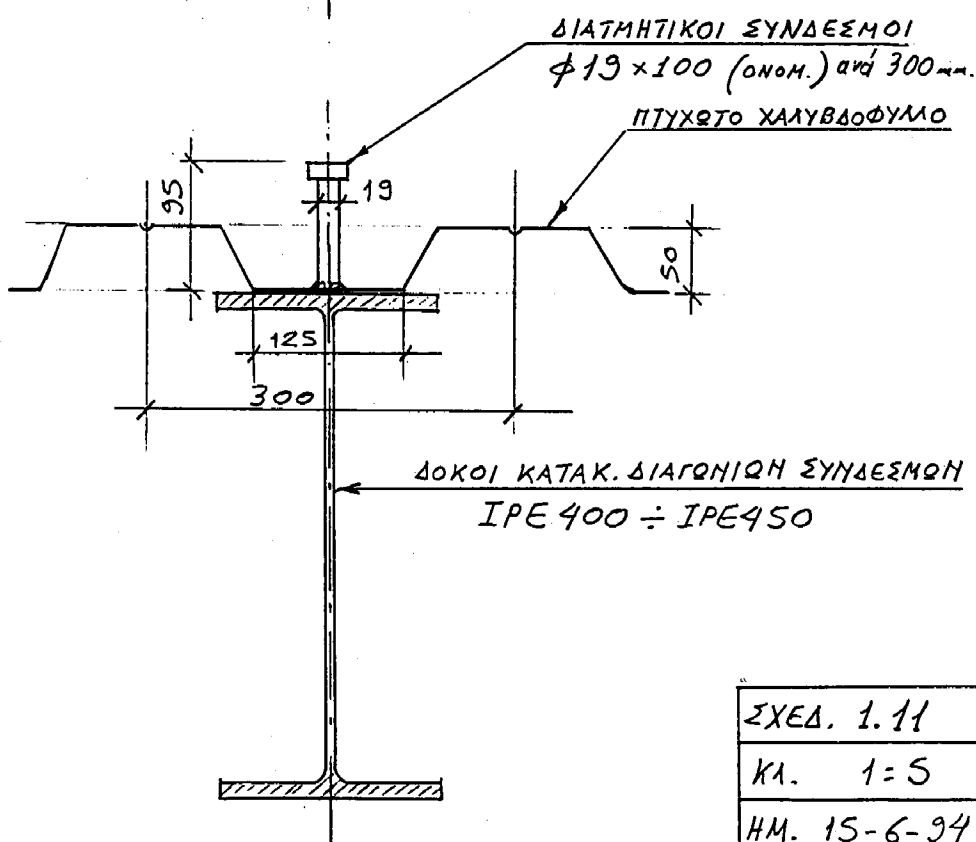
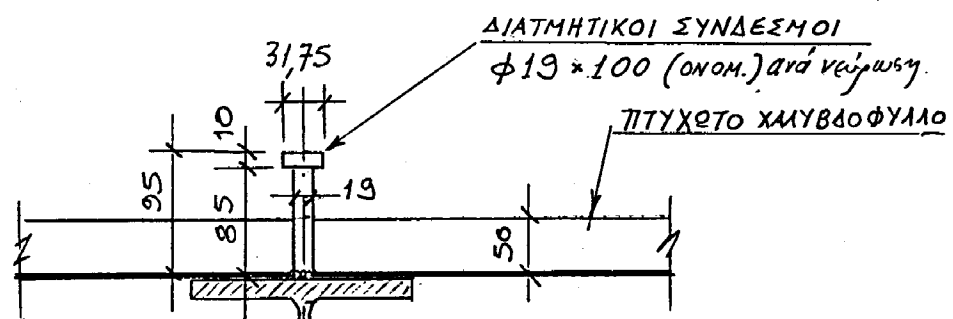
- ΥΠΟΣΤΥΛΩΜΑΤΟΣ (γεν. οροφος)

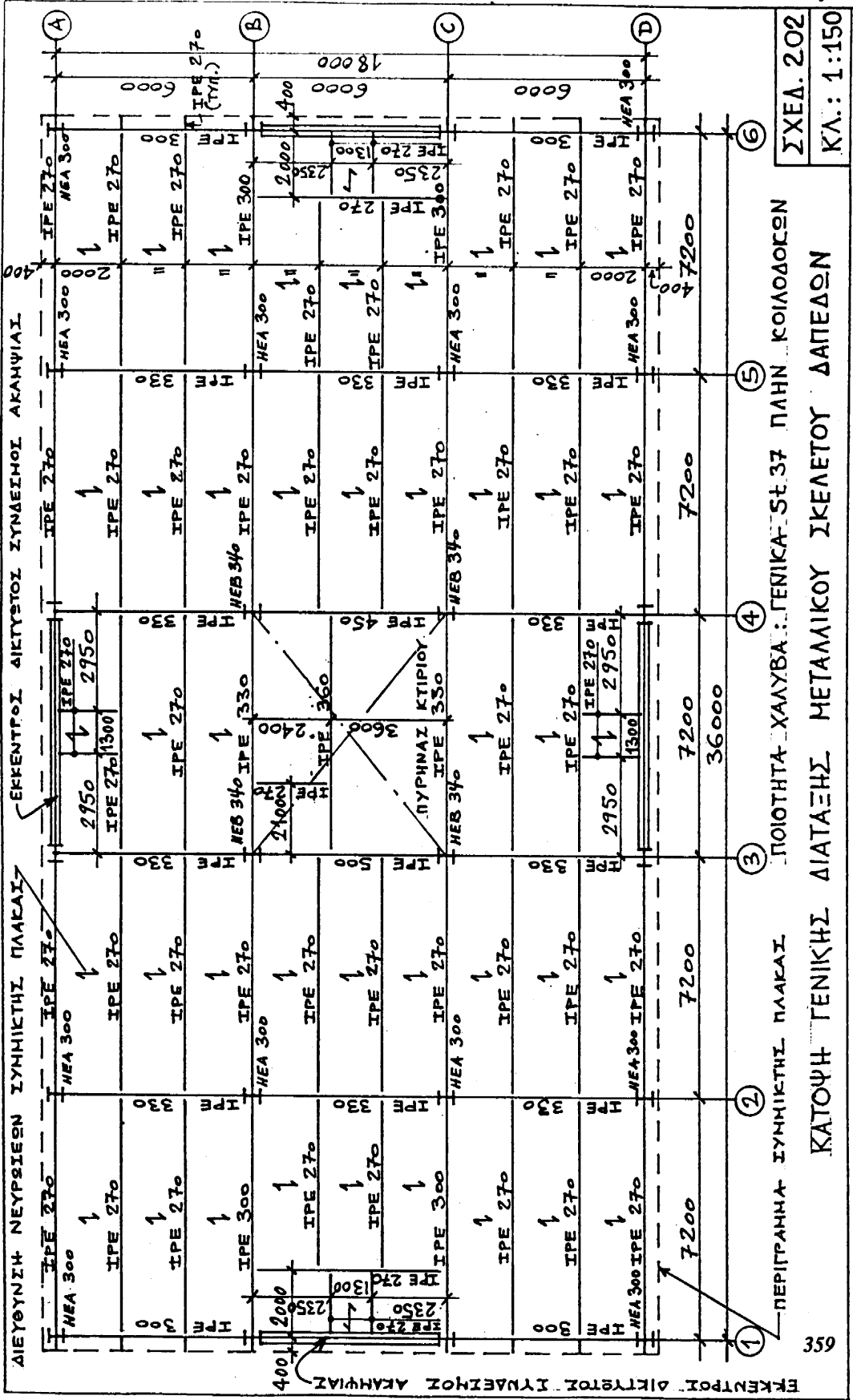
ΣΧΕΔ. 1.09

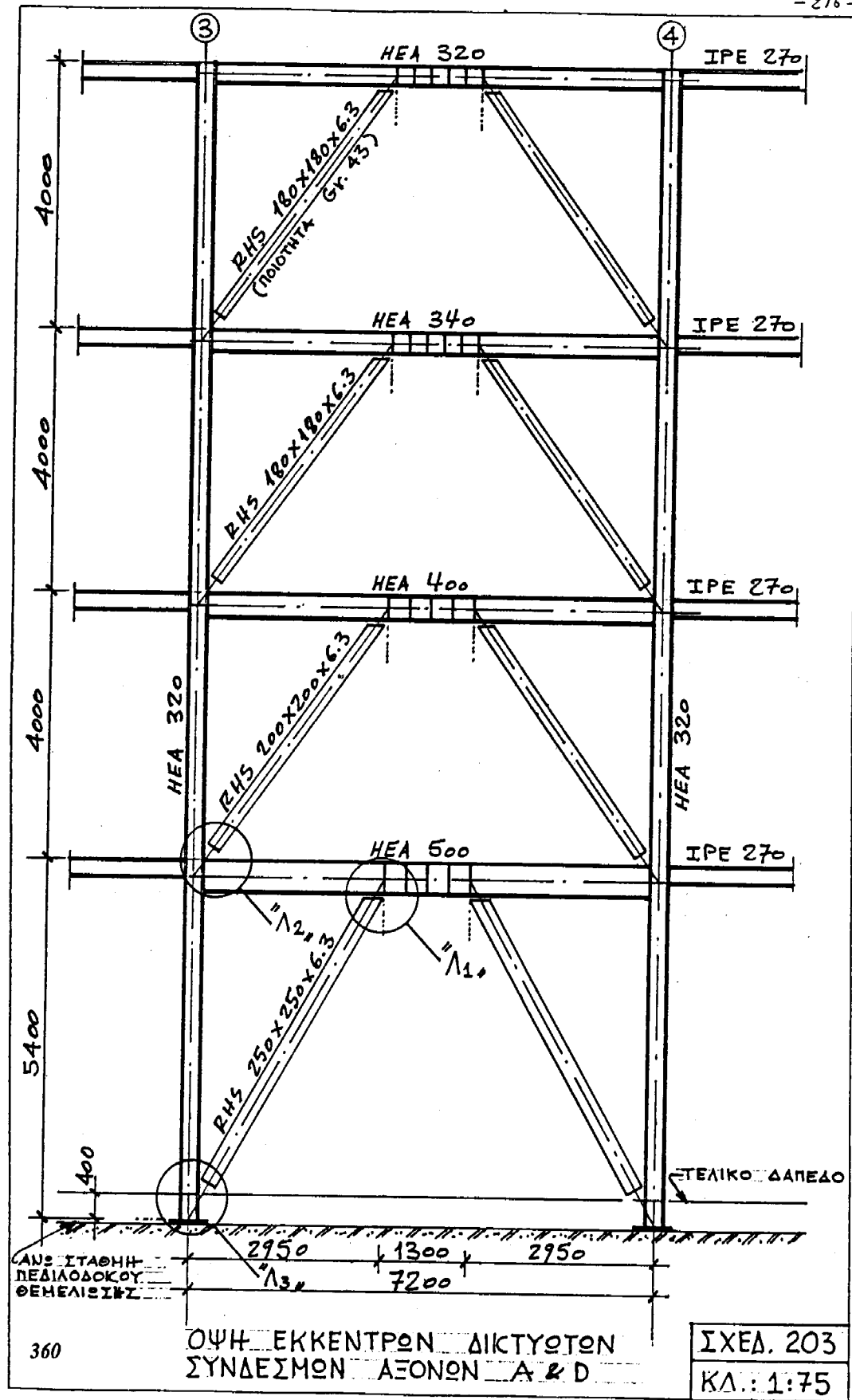
Κ.Λ. 1:10

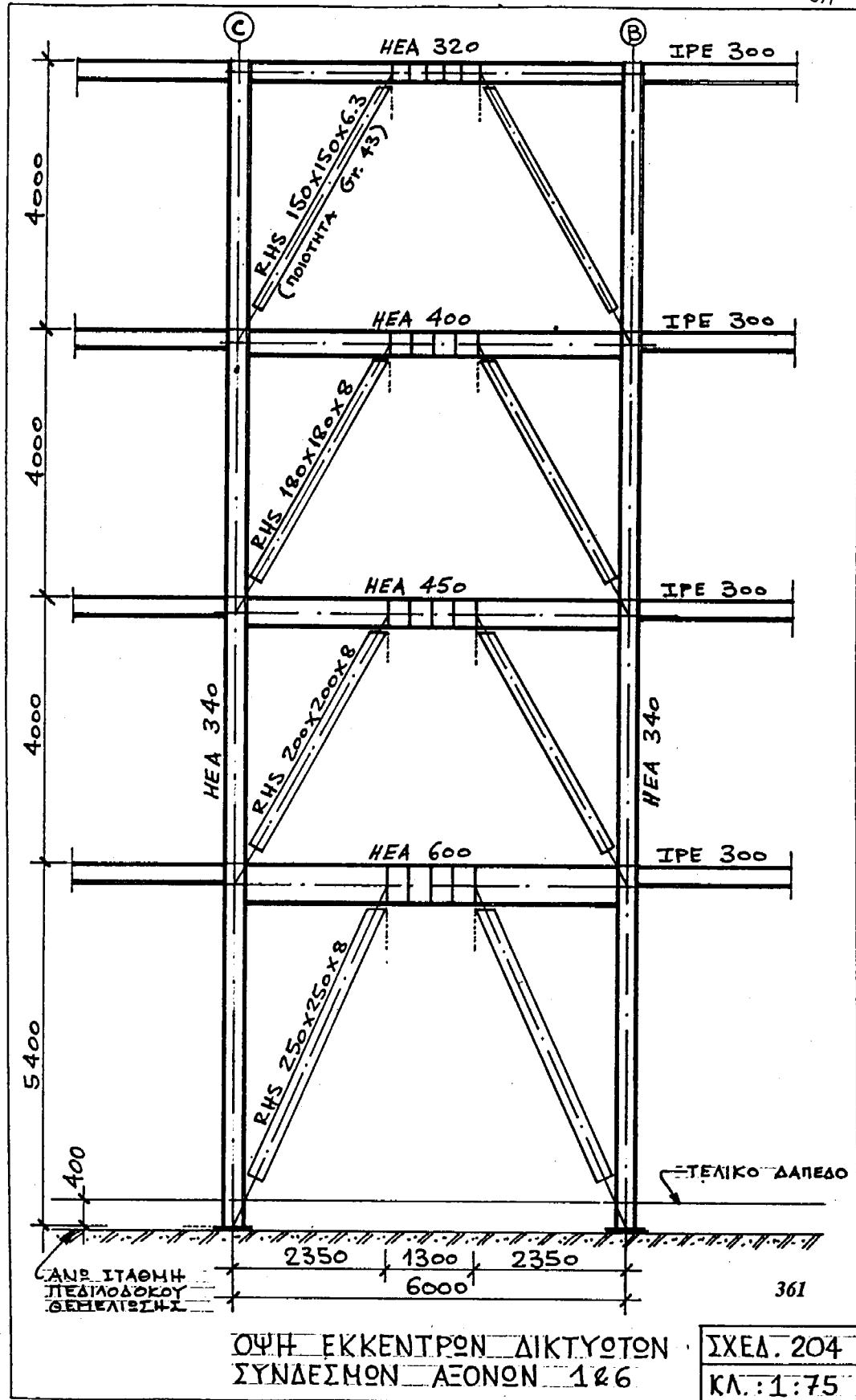
ΗΜ. 15-6-94

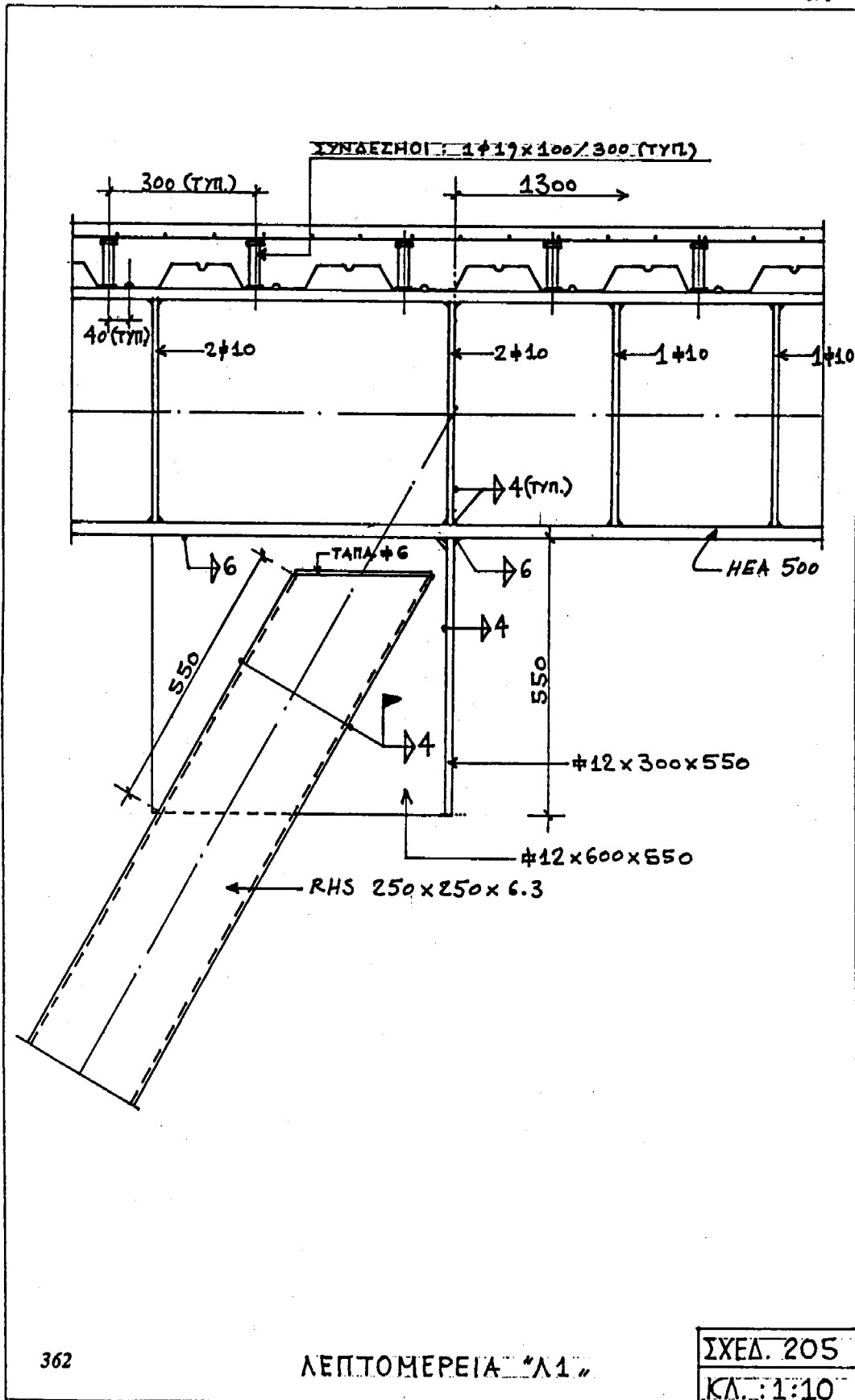


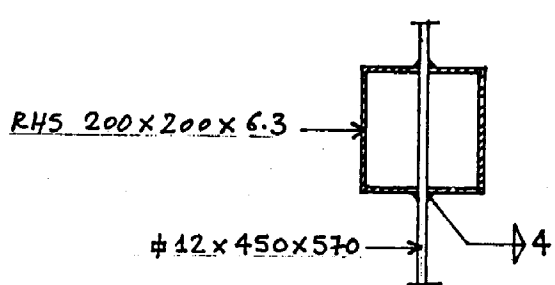
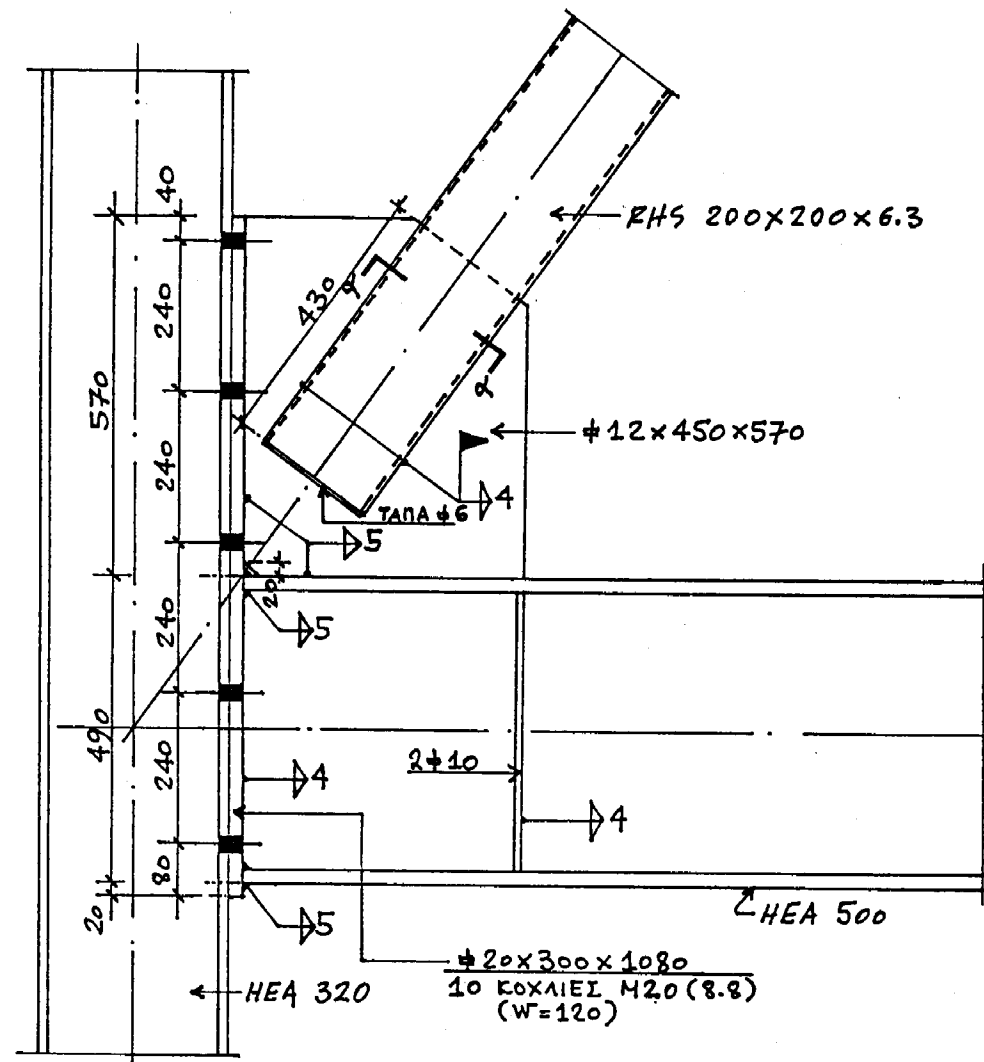












ΤΟΜΗ  $\alpha-\alpha$

363

ΔΕΠΤΟΜΕΡΕΙΑ "Α2"

ΣΧΕΔ. 206  
ΚΛ. : 1:10

